



Поиск изображений по содержанию

Microsoft
Research



Many slides adopted from Cordelia Schmid, Li Fei-Fei, Rob Fergus, Antonio Torralba



Общая информация

Microsoft
Research

Этот курс
подготовлен и
читается при
поддержке Microsoft
Research

Microsoft
Research

- Страница курса
<http://courses.graphicon.ru/main/vision>



Задача

- Content-based image retrieval
- Поиск изображений в базе изображений по «какому-то описанию содержимого»
- Задача похоже на классификацию/поиск объектов, но фокусируется в основном на масштабировании и взаимодействии с пользователем

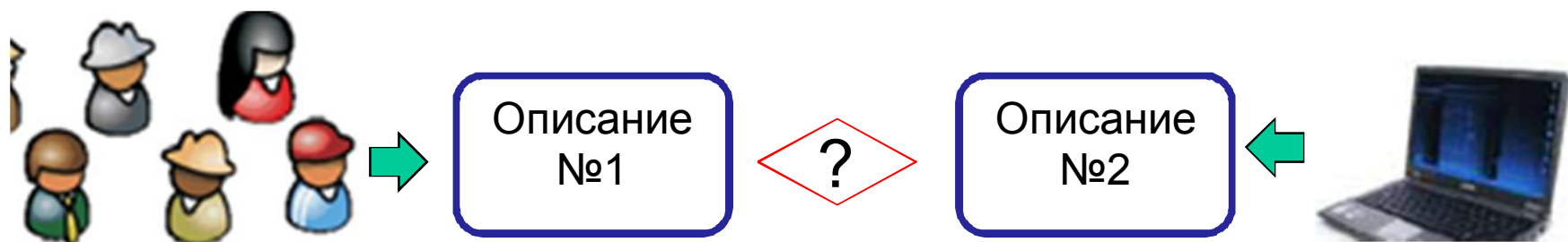


R. Datta, D. Joshi, J. Li, and J. Z. Wang. Image retrieval: Ideas, influences, and trends of the new age. *ACM Computing Surveys*, 2008.



Semantic Gap

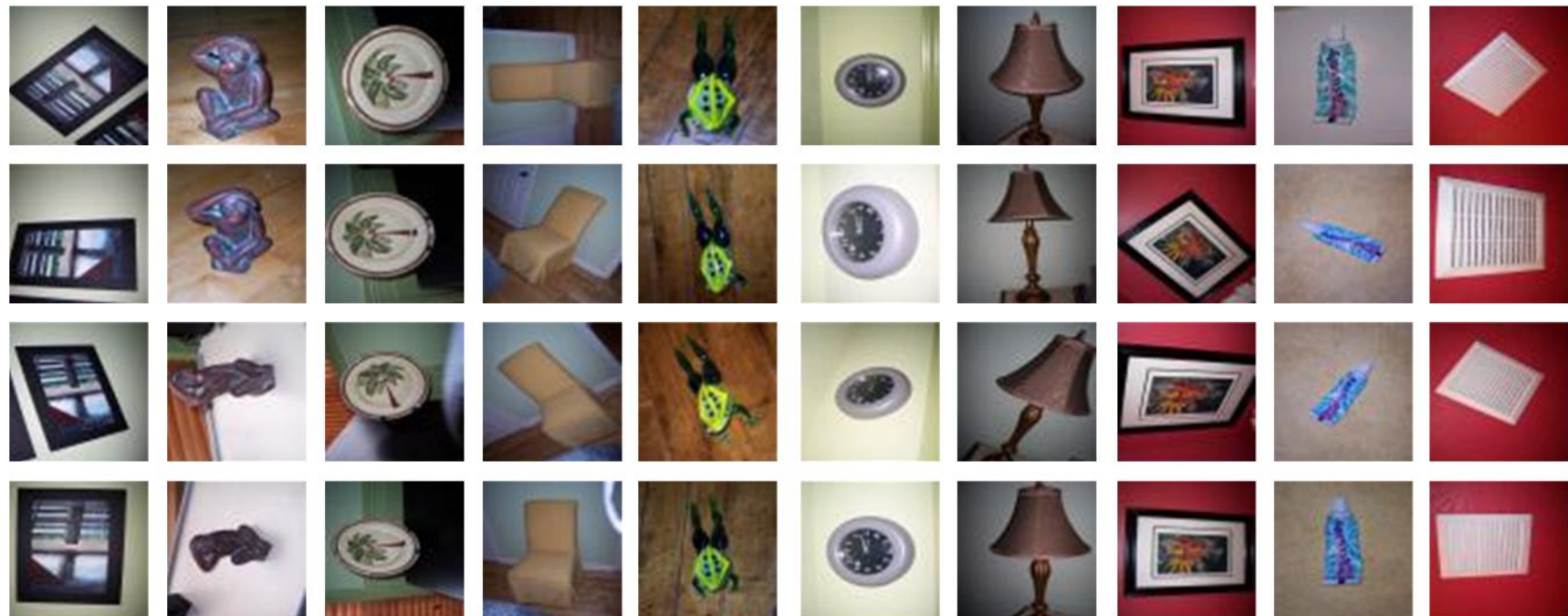
- «Семантический разрыв» – несовпадение информации, которую можно извлечь из визуальных данных, и интерпретацией тех же самых данных со стороны пользователя
- Что значит «похожее изображение»?





Что значит похожее?

1. «Near-duplicates» - изображения фактически одного и того же объекта





Что значит похожее?

- Похожие по конфигурации сцены, хотя могут быть и разные по назначению



Кухня



Ресепшн



Бар



Автобус



Самолет



Зал



Что значит похожее?

3. «Category-level scene classification» - изображения из одного класса сцен



Пример – банкетный зал.



Что значит похожее?

-
- 4. «Category-level classification» - изображения из одного класса объектов



Например, 256 классов из базы Caltech 256

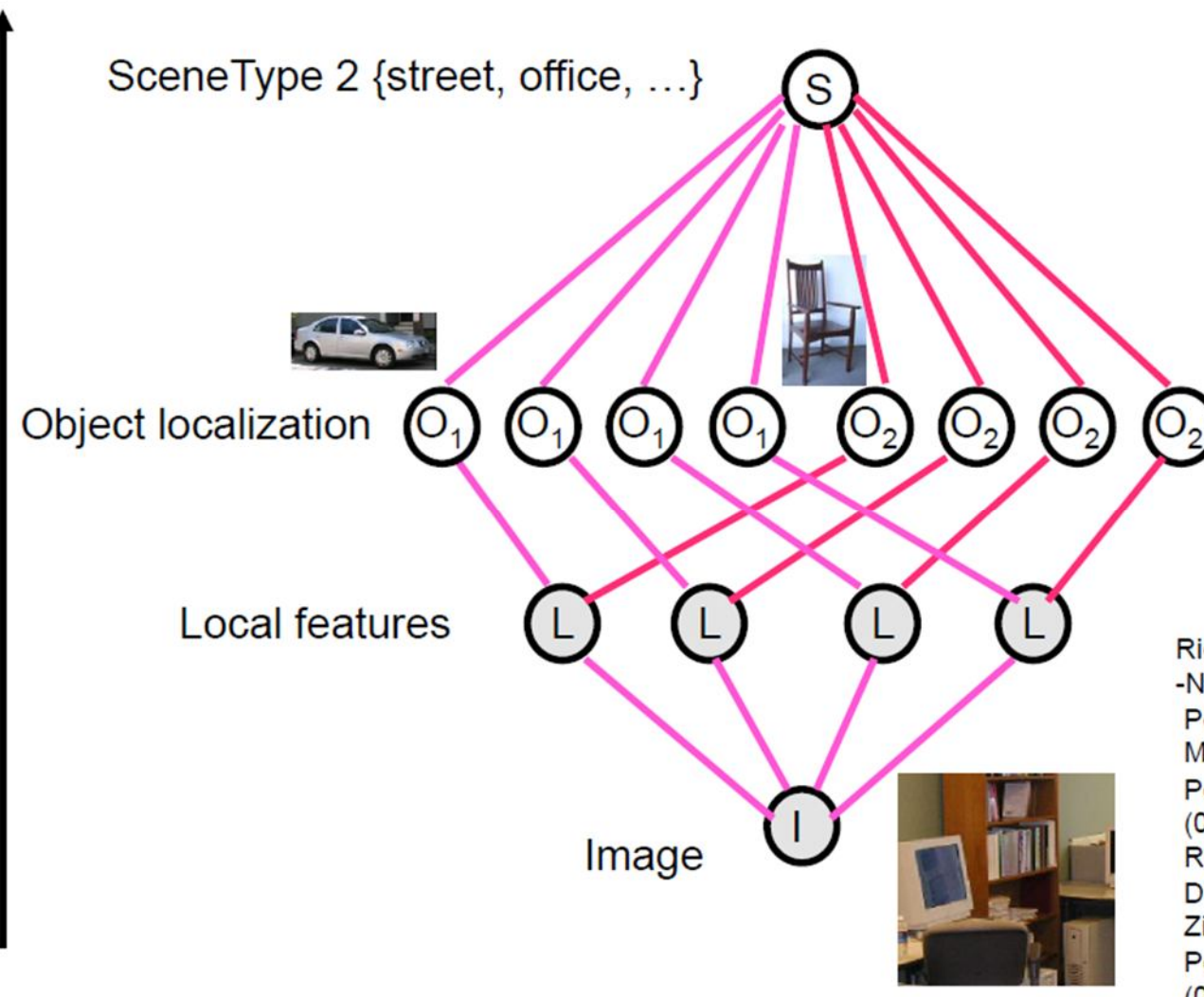


Анализ задачи

- Все четыре постановки задачи существенно отличаются друг от друга!
- Нам потребуются разные признаки для каждой постановки
- Что ещё?
 - Изображений может быть очень много (в перспективе – миллиарды)
 - Нам нужно описать коллекцию как можно компактнее



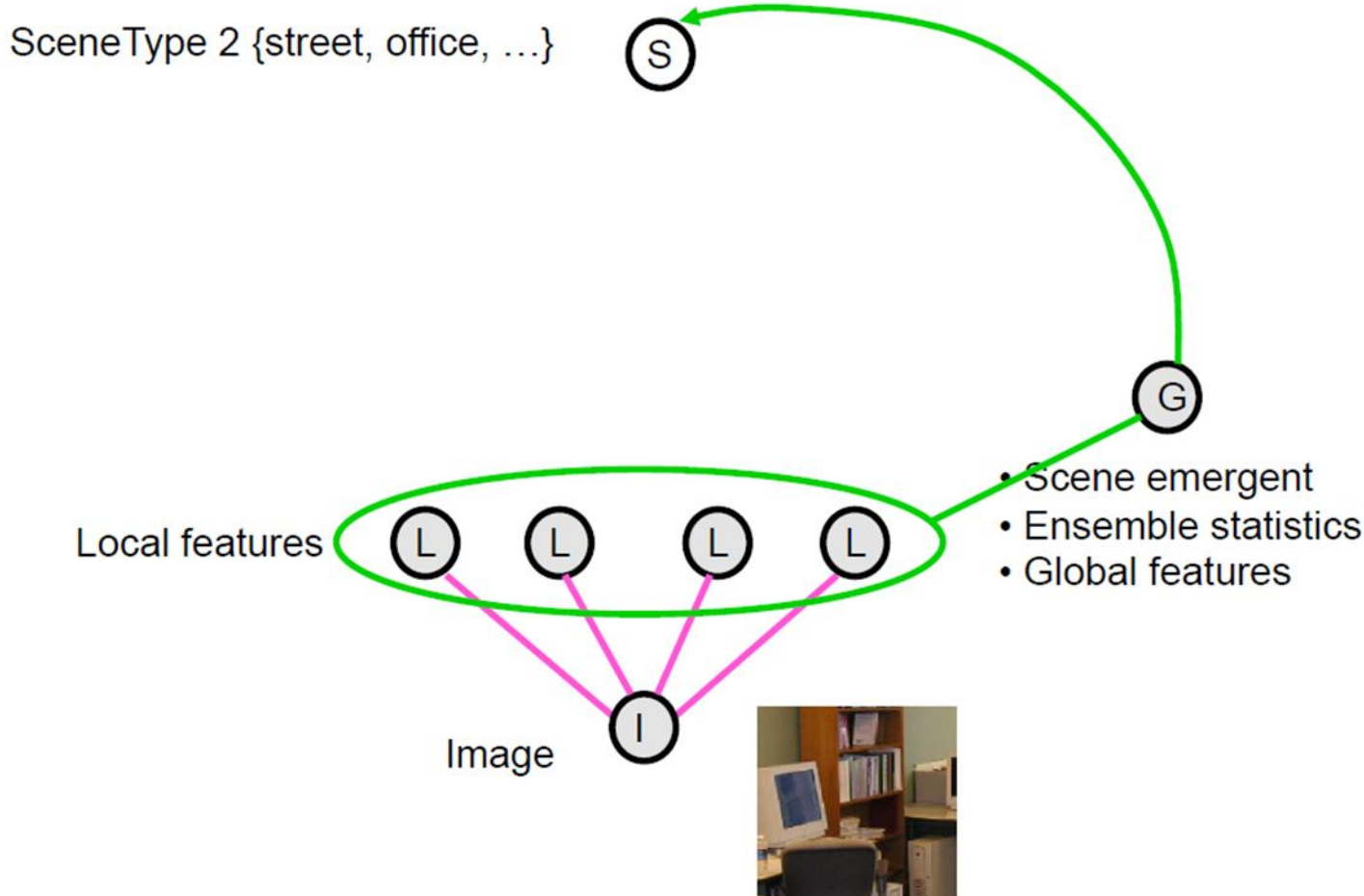
Представление сцены



Riesenhuber & Poggio (99); Vidal -Naquet & Ullman (03); Serre & Poggio, (05); Agarwal & Roth, (02), Moghaddam, Pentland (97), Turk, Pentland (91), Vidal-Naquet, Ullman, (03) Heisele, et al, (01), Agarwal & Roth, (02), Kremp, Geman, Amit (02), Dorko, Schmid, (03) Fergus, Perona, Zisserman (03), Fei Fei, Fergus, Perona, (03), Schneiderman, Kanade (00), Lowe (99)



Стандартный подход



- Построение описания сцены по множеству низкоуровневых локальных особенностей



Глобальные дескрипторы

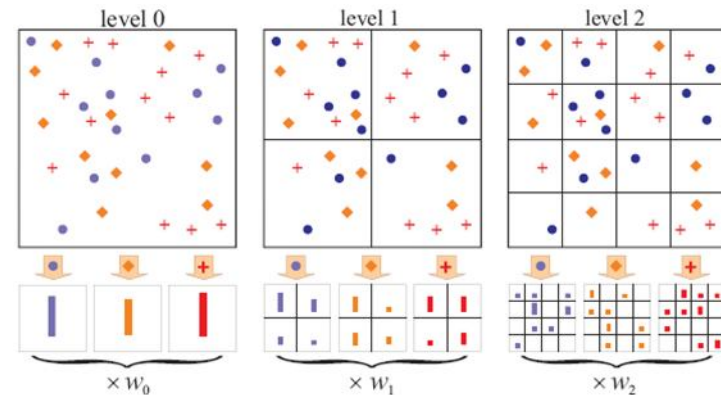
Гистограммы
цвета, яркости
(Давно)



Мешок слов (2003)



GIST (2003)



Мешок слов по
пространству (2006)



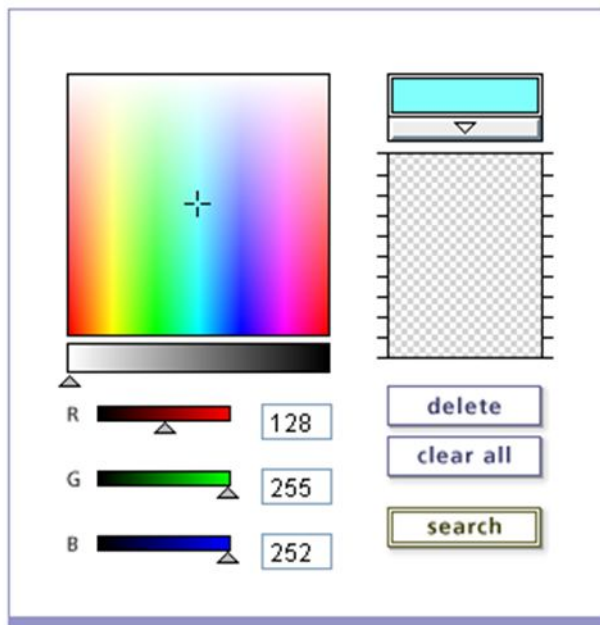
QBIC (1995)

- Query By Image Content
- Вычисляет набор признаков
 - Цветовая гистограмма
 - Набор объектов и их признаков
 - Бинарная маска для описания объектов
 - Ручная или автоматическая сегментация
 - » Выделение контрастных объектов на фоне (музейные экспонаты)
 - » “Snakes”, “заливка” для автоматизированной разметки
 - Признаки формы объектов для распознавания
 - » Площадь, периметр, и т.д.
 - ~10000 изображений в базе

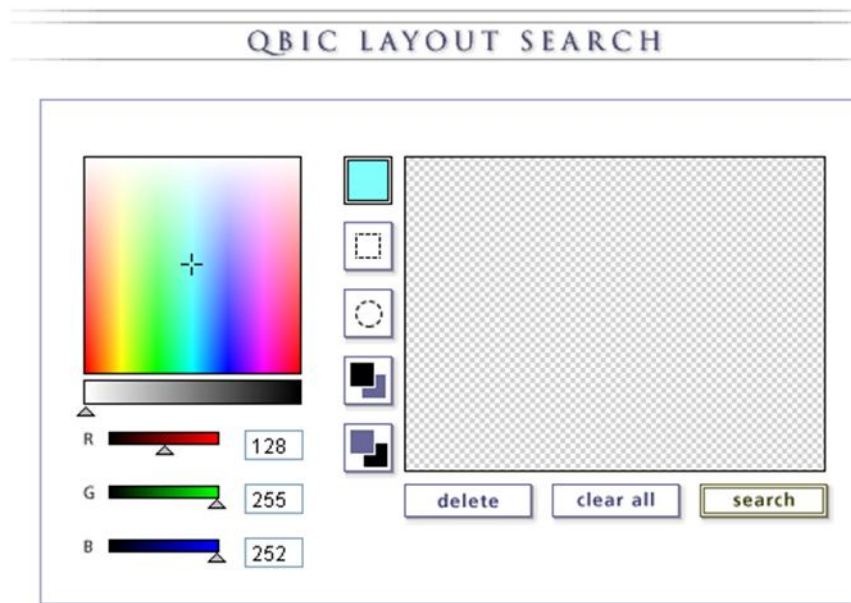
M. Flickner, H. Sawhney, W. Niblack, J. Ashley, Q. Huang, M. Gorkani, J. Hafner, D. Lee, D. Petkovic, D. Steele, and P. Yanker. Query by image and video content: the QBIC system. *IEEE Computer*, 28(9):23–32, 1995.



QBIC: Интерфейс



Гистограмма



Пространственное
распределение цветов



QBIC: Пример использования

QBIC LAYOUT SEARCH

The interface includes a color palette on the left, three sliders for R (255), G (255), and B (255), and a search mask on the right. Below the mask are buttons for 'delete', 'clear all', and 'search'.



1) [Vase of Flowers](#)

Huijsum, Jan van
Early 18th century



2) [Seascape with Venice in the Distance](#)

Cottet,
Charles
Circa 1896



3) [Boats on a Sea Shore](#)

Goyen, Jan
Jozefsz van
1641



4) [Avenue in a Park](#)

Watteau,
Antoine
Circa 1715



5) [Bird Perching on a Rose Twig](#)

UNKNOWN
18th century



6) [Old Woman with a Spindle](#)

Watteau,
Antoine
1710s



7) [Interiors of the New Hermitage. The Room of Russian Sculpture](#)

Premazzi,
Luigi 1854



8) [Allegory of George I, King of England](#)

Vanloo,
Carle
(Charles-
Andre)
1736



GIST & BOW

- GIST
 - Конфигурация сцены



- Bag of words
 - Одна и та же сцена с разных ракурсов





Размеры дескрипторов

- GIST
 - Решетка 4x4 * 8 ориентаций * 4 масштаба = 512 параметров
 - 16384 бита (при 4 байтах на параметр)
- Bag of word
 - Количество слов в словаре (От 64 до 1000000)
 - По пространству – увеличение в 5-18 раз
 - Признак высокой размерности (До 18М параметров!)



Поиск на основе «мешка слов»

- Раз «Мешок слов» так хорошо работает для многих задач, построим алгоритм поиска на его базе
- Построение индекса для коллекции изображений:
 - Извлечение особенностей
 - Обучение словаря (кластеризация)
 - Квантование особенностей по словарю (сопоставление)
 - Построение гистограммы частот слов
 - Запись всех «мешков» в каком-то виде
- Поиск изображения
 - Извлечение особенностей
 - Квантование особенностей по словарю (сопоставление)
 - Построение гистограммы частот слов
 - Сравнение гистограммы со всеми из индекса



«Мешок слов»

Dataset	# images	# features	Size of descriptors
5K	5,062	16,334,970	1.9 GB
100K	99,782	277,770,833	33.1 GB
1M	1,040,801	1,186,469,709	141.4 GB
Total	1,145,645	1,480,575,512	176.4 GB



- Применим стандартный подход BoW к большой коллекции (5к, 100к, 1М изображений)
- Проблемы:
 - Как построить словарь, если нужно кластеризовать очень большой объём данных? (20M+ векторов для 5K изображений)
 - Как ускорить сопоставление слова словарю (кватнование) при больших размерах?
 - Как хранить индекс изображения?



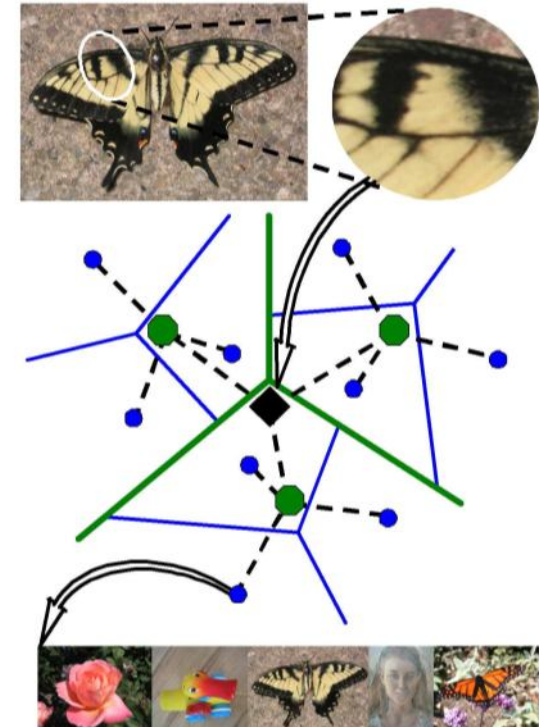
Приближенная кластеризация

- Hierarchical k-means (HKM)
- Approximate k-means (AKM)



Hierarchical k-means (HKM)

- «Словарное дерево»
- Иерархическое разбиение
 - Кластеризуем всё на K кластеров ($K=10$)
 - Затем данные в каждом кластере снова на K кластеров
- Пример:
 - Глубина 6 даёт 1М листьев



D. Nist'er and H. Stew'enius. Scalable recognition with a vocabulary tree. In Proc. CVPR, 2006.



Approximate k-means (АКМ)

- Алгоритм
 - Лес из 8 рандомизированных k-d деревьев
 - Параметр (координата) разбиения выбирается случайно из набора с наибольшим разбросом
 - Порог разбиения выбирается случайно недалеко от медианы
- Такое разбиение позволяет уменьшить эффекты квантизации
- Сложность каждого этапа k-средних падает с $O(NK)$ до $O(N\log(K))$

J. Philbin, O. Chum, M. Isard, J. Sivic, and A. Zisserman, “Object retrieval with large vocabularies and fast spatial matching,” CVPR, 2007.



Оценка

Clustering parameters		mAP	
# of descr.	Voc. size	k-means	AKM
800K	10K	0.355	0.358
1M	20K	0.384	0.385
5M	50K	0.464	0.453
16.7M	1M	0.618	

- Сравнение АКМ с обычным K-means показывает небольшое падение точности (1%)
- На больших размерах выборки обычным K-means слишком долго считать



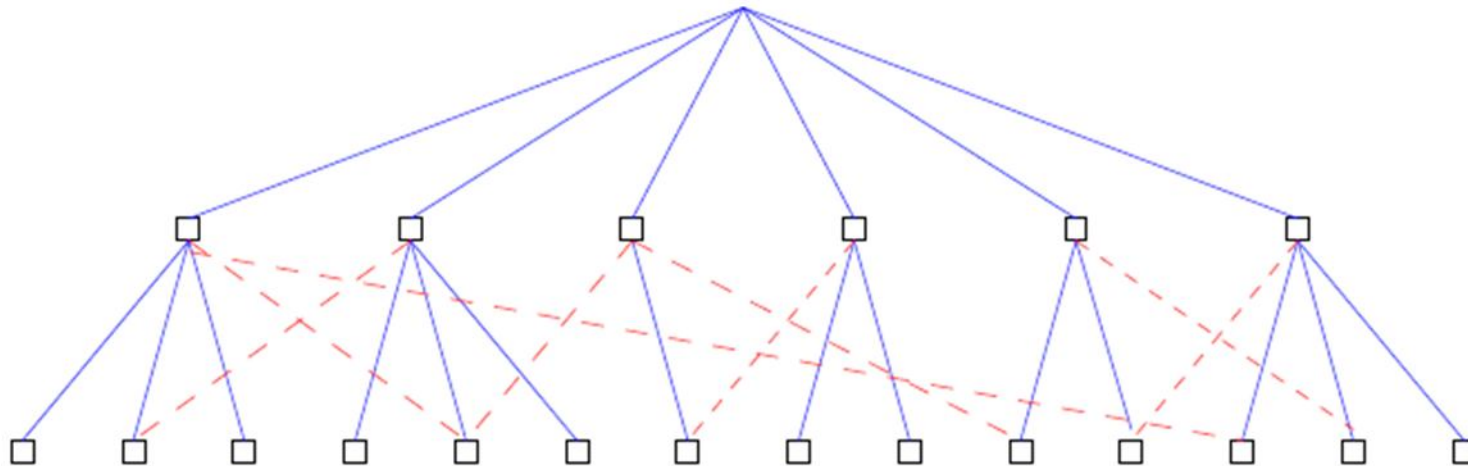
Сравнение

Method	Dataset	mAP	
		Bag-of-words	Spatial
(a) HKM-1	5K	0.439	0.469
(b) HKM-2	5K	0.418	
(c) HKM-3	5K	0.372	
(d) HKM-4	5K	0.353	
(e) AKM	5K	0.618	0.647
(f) AKM	5K+100K	0.490	0.541
(g) AKM	5K+100K+1M	0.393	0.465

- Выводы:
 - AKM превосходит по точности HKM
 - С ростом размера выборки точность сильно падает



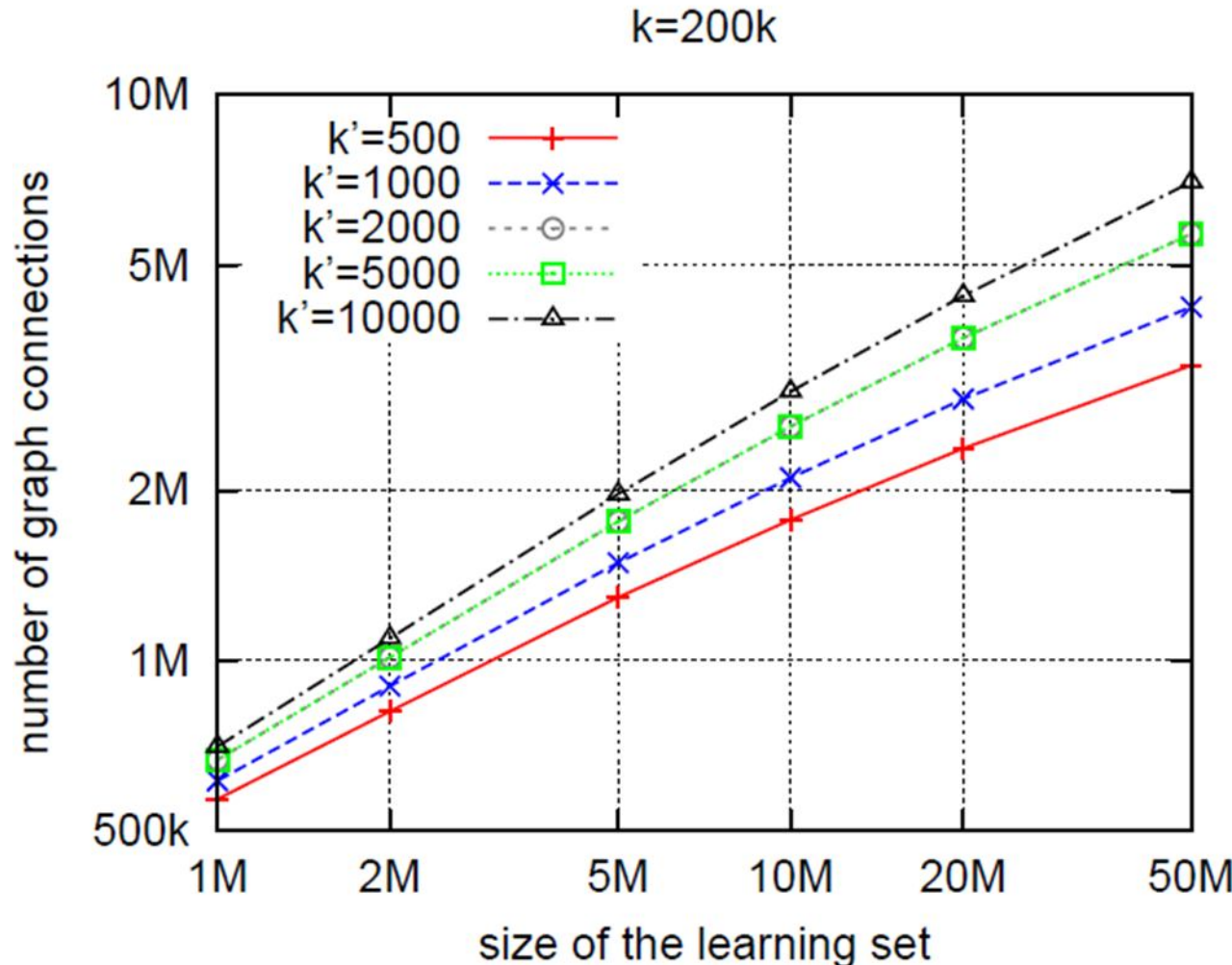
Ускорение квантования



- Прямое сравнение дескриптора со всем словарём очень медленное
- Построим иерархическую структуру
 - Итеративно повторяем K-средних над словами и потом кластерами для построения дерева
 - Обучение дополнительных связей в графе на тестовой выборке



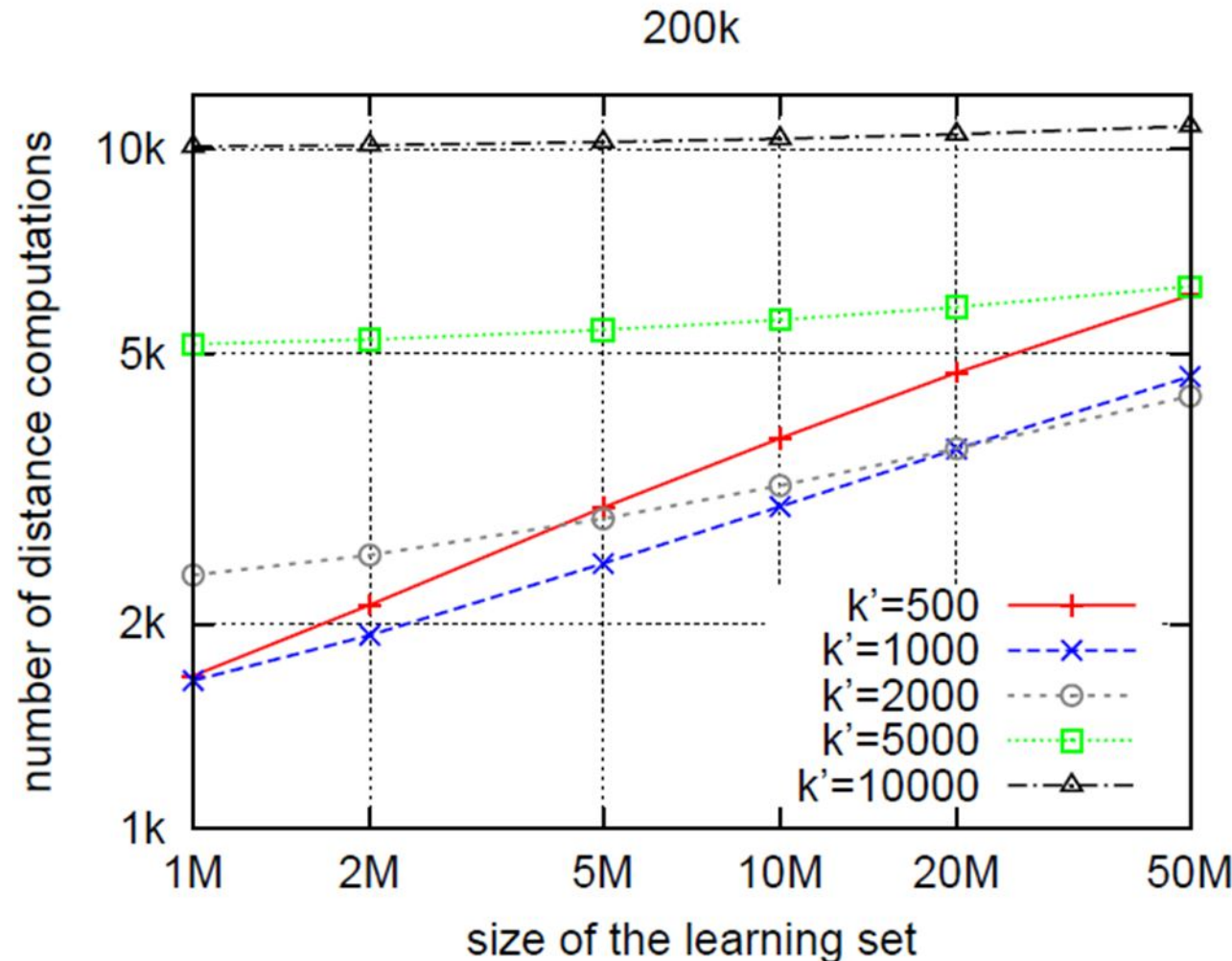
Анализ алгоритма



- Размер связей в графе в зависимости от размера обучающей выборки



Анализ алгоритма

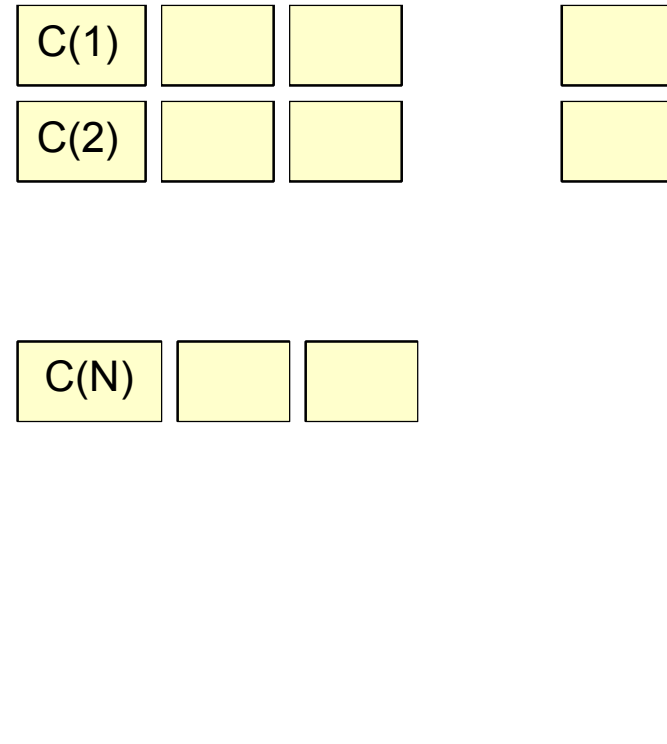


- Количество расчетов расстояний при поиске ближайших



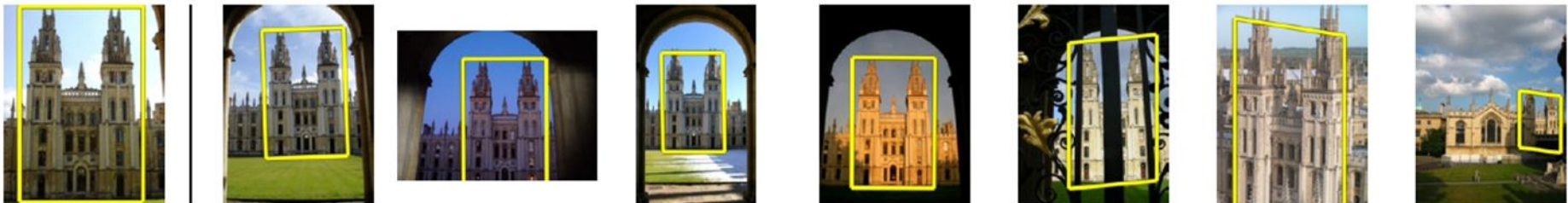
Инвертированный индекс

- Вектор слов в дескрипторе очень разреженный
 - Например, 1к ненулевых элементов из 1М словаря
- Удобно хранить его в инвертированном индексе
 - Таблица (слова)x(изображения)
 - Список слов в словаре (терминов)
 - Для каждого слова храним список изображений, в котором слово встречается
- Ускорение поиска:
 - Самые частые слова идут в начале списка





Поиск по «мешку слов»



- Первый алгоритм CBIR над BoW готов!
 - Дескриптор «мешок слов» большой размерности (1М)
 - АКМ для построения словаря по большой коллекции (5к)
 - Инвертированный индекс для хранения
- Тестирование:
 - 5к+100к изображений, 1М слов, 1GB индекс, поиск в нём 0.1с
 - 5к+100к+1М изображений, 1М слов, 4GB+, хранение файла на диске, поиск 10-35с

J. Philbin, O. Chum, M. Isard, J. Sivic, and A. Zisserman, “Object retrieval with large vocabularies and fast spatial matching,” CVPR, 2007.

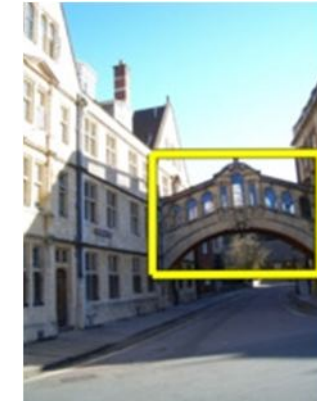
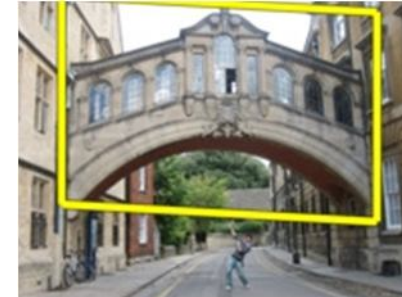
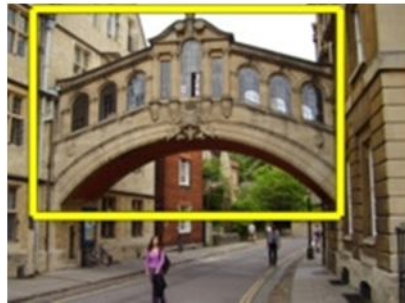


Улучшение поиска

- Ранжирование списка результатов
- Раскрытие запросов
- Улучшение работы «мешка слов»
 - Коды Хэмминга
 - Слабая геометрия



Геометрическое сопоставление



- Если мы решаем задачу «near-duplicate», то найденные изображения можно хорошо сопоставить с запросом
- Стандартная схема (локальные особенности + робастное вычисление преобразования) слишком медленное для полного перебора
- Можем использовать для постобработки – ранжирования найденных изображений

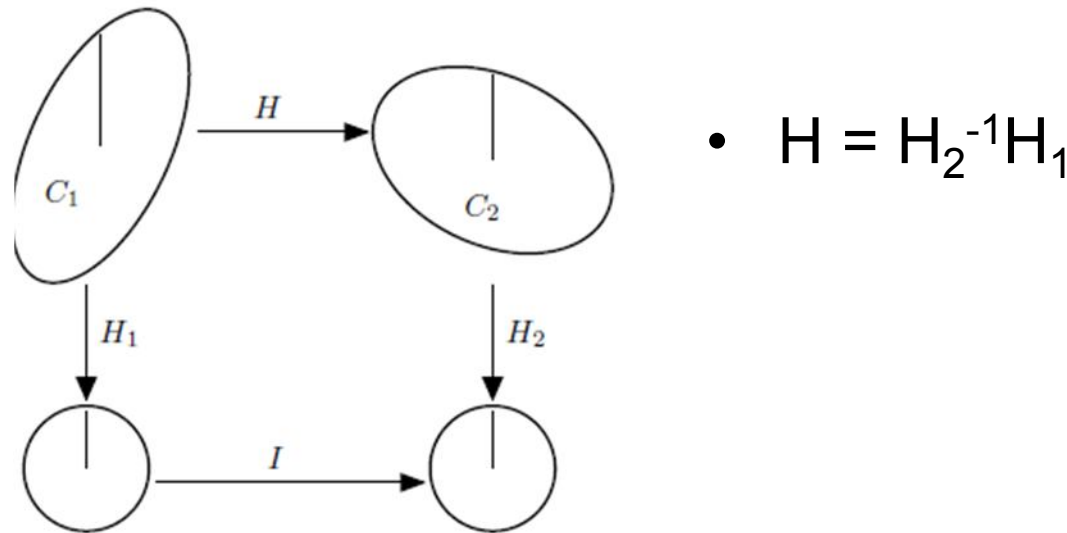


Схема ранжирования

- Сопоставим особенности между «запросом» и отфильтрованными поиском изображением
- Выбросы отфильтруем с помощью LO-RANSAC
 - Вначале простую модель
 - Затем по инлаерам более сложную модель
- Уточним хорошую модель по найденным инлаерам
 - Аффинная модель
- Отсортируем изображения
 - Для тех, которые сопоставились
 - В начало списка
 - Порядок по количеству инлаеров (чем больше – тем выше в списке)
 - Для тех, которые не сопоставились
 - В конец списка
 - Без изменения порядка



Оценка модели по 1 паре



- Достаточно одной пары соответствующих точек для генерации гипотезы
- Можно оценить до 5 параметров
 - Сдвиг (2)
 - Масштаб (1)
 - Поворот (1)
 - Пропорции (эллипсоид)



Модели преобразования

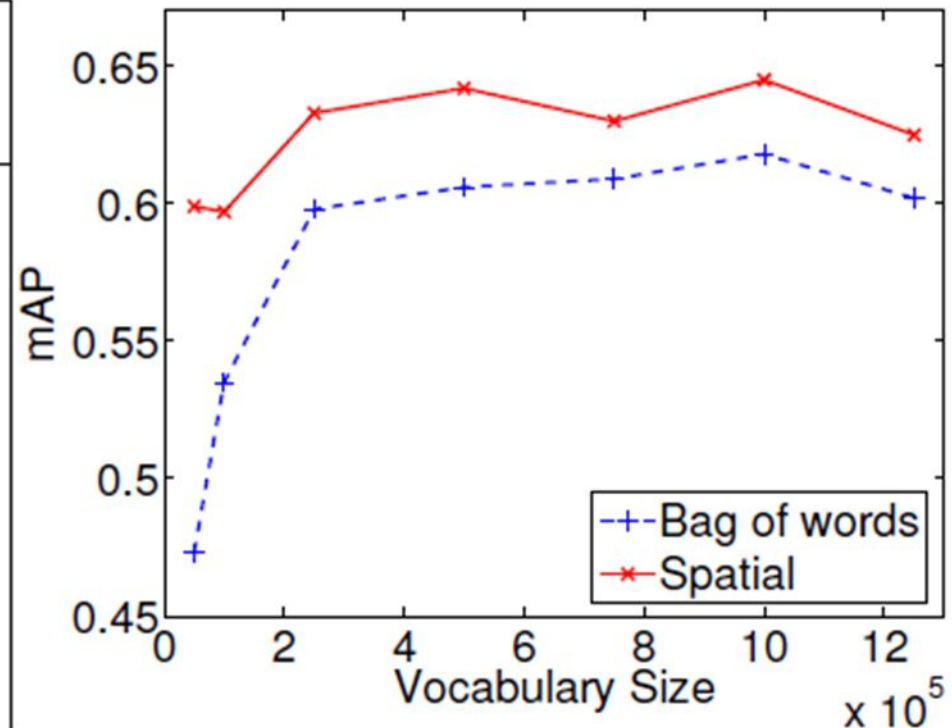
Transformation	dof	Matrix
translation + isotropic scale	3	$\begin{bmatrix} a & 0 & t_x \\ 0 & a & t_y \\ 0 & 0 & 1 \end{bmatrix}$
translation + anisotropic scale	4	$\begin{bmatrix} a & 0 & t_x \\ 0 & b & t_y \\ 0 & 0 & 1 \end{bmatrix}$
translation + vertical shear	5	$\begin{bmatrix} a & 0 & t_x \\ b & c & t_y \\ 0 & 0 & 1 \end{bmatrix}$

- 3dof
 - Моделируем масштабирование / расстояние до объекта
- 4dof
 - Моделируем ракурсы
- 5dof
 - Сохраняем «вертикальность», моделируем «скос» (shear)



Результаты ранжирования

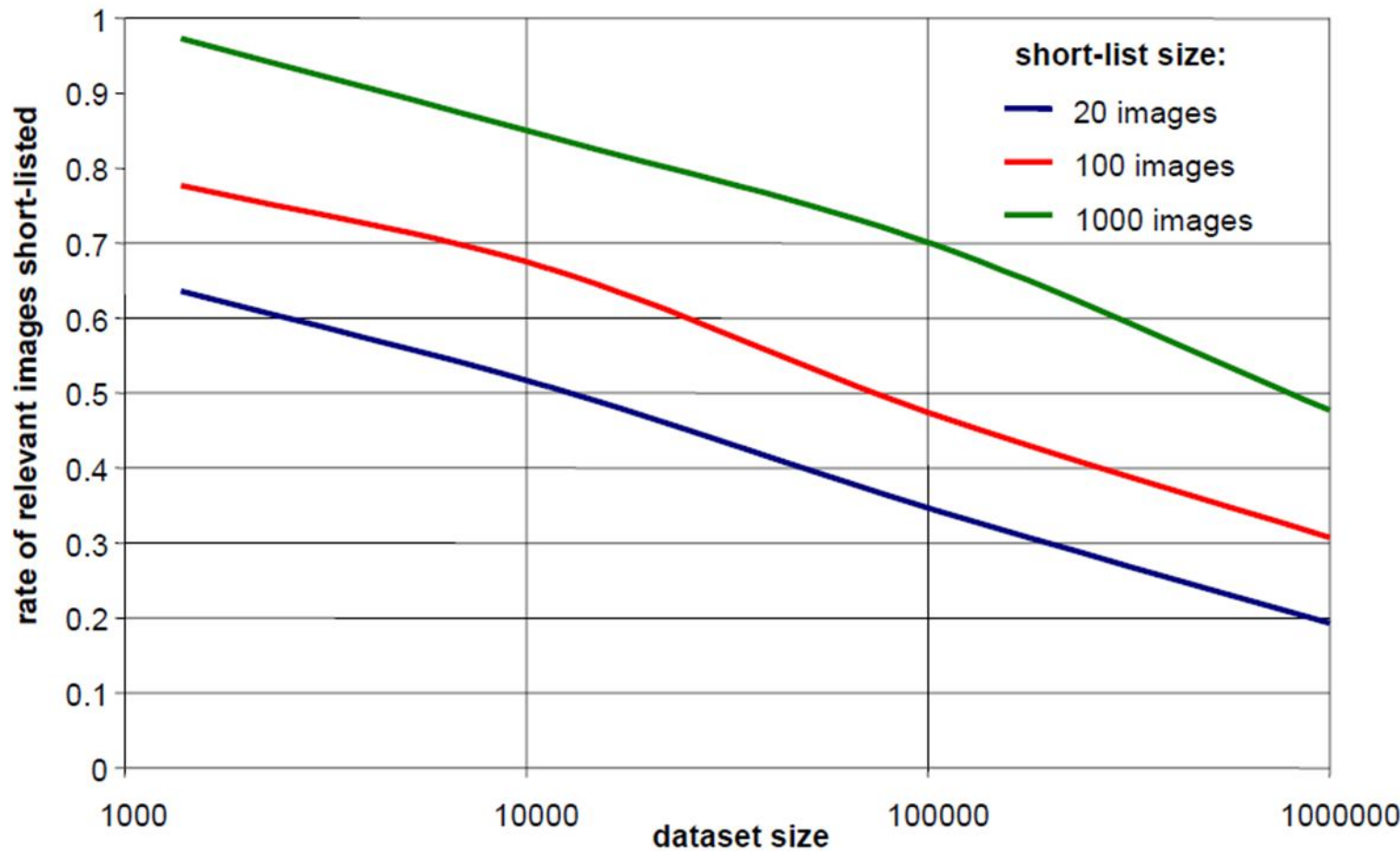
Vocab Size	Bag of words	Spatial
50K	0.473	0.599
100K	0.535	0.597
250K	0.598	0.633
500K	0.606	0.642
750K	0.609	0.630
1M	0.618	0.645
1.25M	0.602	0.625



- Для поиска изображений архитектуры ранжирование показывает существенный прирост в точности



Результаты ранжирования



- Доля нужных изображений в верхней части ранжированного списка после геометрического сопоставления



Раскрытие запросов

- Transitive closure expansion (TCE)
 - Строим дерево запросов
 - Вершина – исходный запрос
 - Потомки – наиболее хорошо сопоставленные изображения из ответа на запрос
- Additive query expansion (AQE)
 - Отображаем интересные точки с найденных изображений на исходное
 - Используем модифицированное изображение для поиска и дополнения результатов



Результаты

re-ranking method:	Oxford+				Holidays
	0	10k	100k	1M	
geometric verification	0.667	0.652	0.591	0.486	0.848
TCE	0.757	0.735	0.674	0.582	0.827
AQE	0.747	0.736	0.687	0.572	0.842

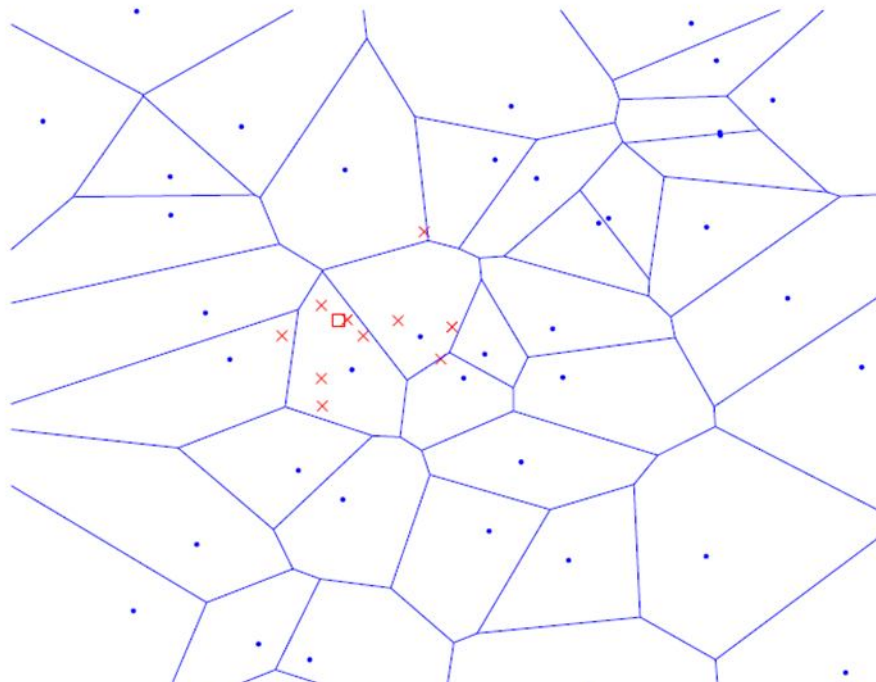


Мешок слов и сопоставление

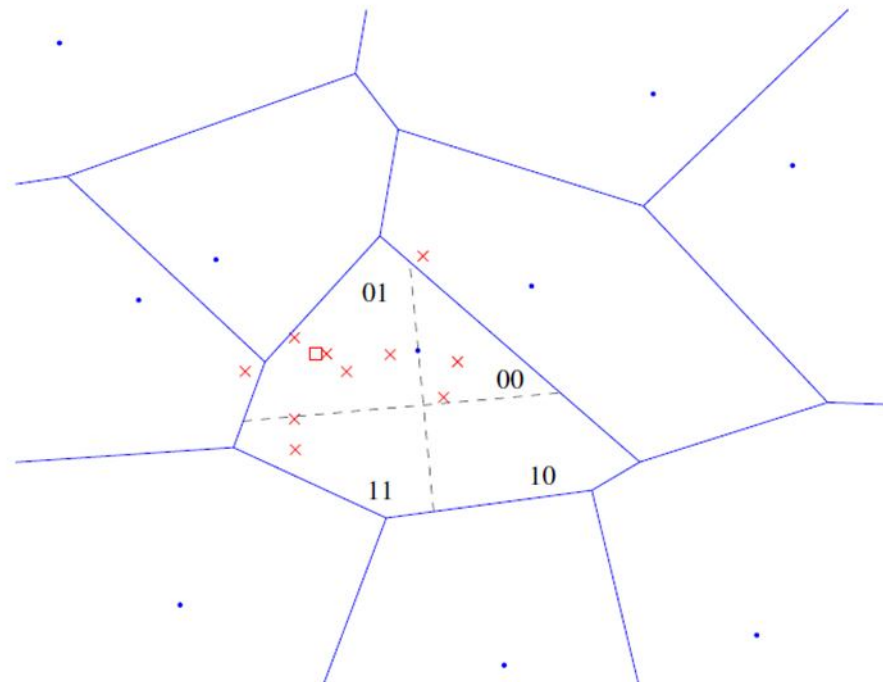
- Сопоставление изображений
 - Находим локальные особенности, считаем дескриптор
 - Находим ближайшие пары по дескрипторам
 - Считаем количество пар, с ошибкой меньше эпсилон
- Сопоставление по «мешку слов»
 - Находим локальные особенности, считаем дескриптор
 - Квантуем локальные особенности по словарю
 - Считаем для каждого изображения гистограмму частот
 - Сравниваем гистограммы частот
- Практически эквивалентно!
 - В первом случае сравниваем дескрипторы непосредственно друг с другом
 - Во втором случае сравниваем точки по номерам в словаре



Диаграмма Вороного



(a)



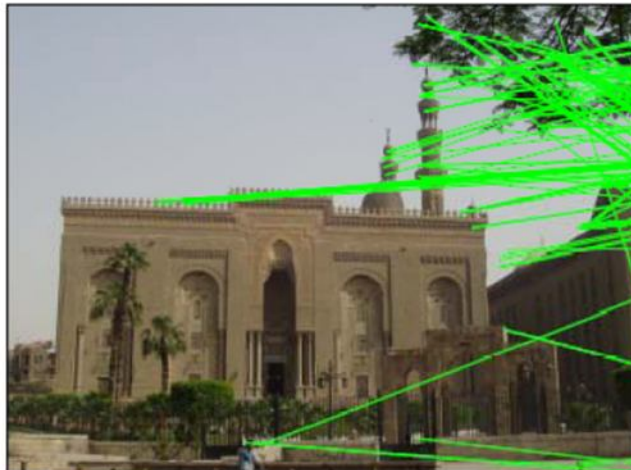
(b)

- Маленький словарь – большие ячейки
 - Слишком грубый порог на сравнение!
- Большой словарь – маленькие ячейки
 - Слишком точный порог на сравнение!

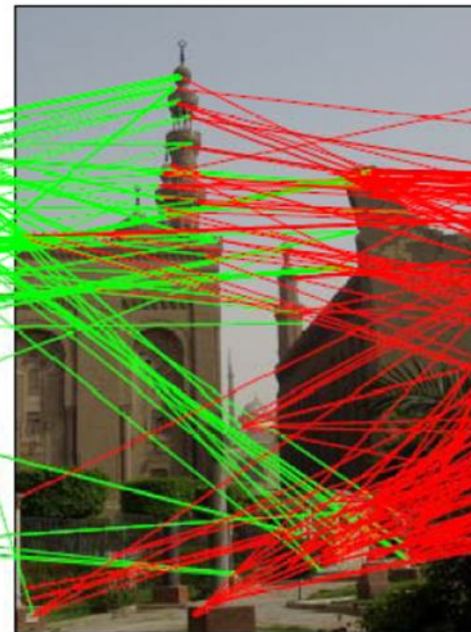


Пример

201 matches



240 matches



- 20К словарь

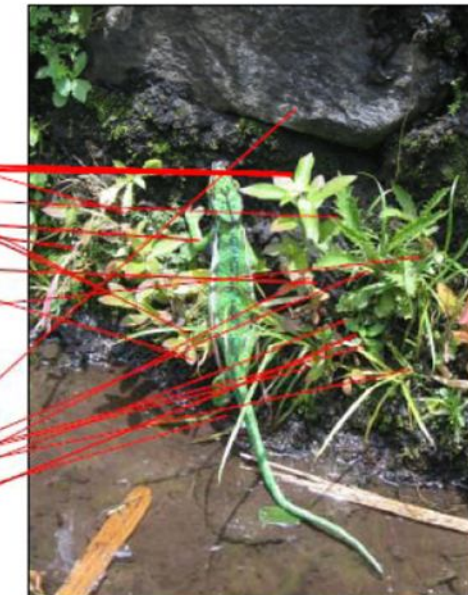
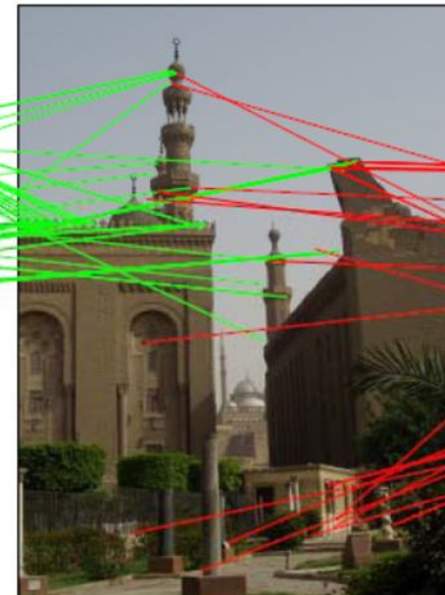


Пример

69 matches



35 matches

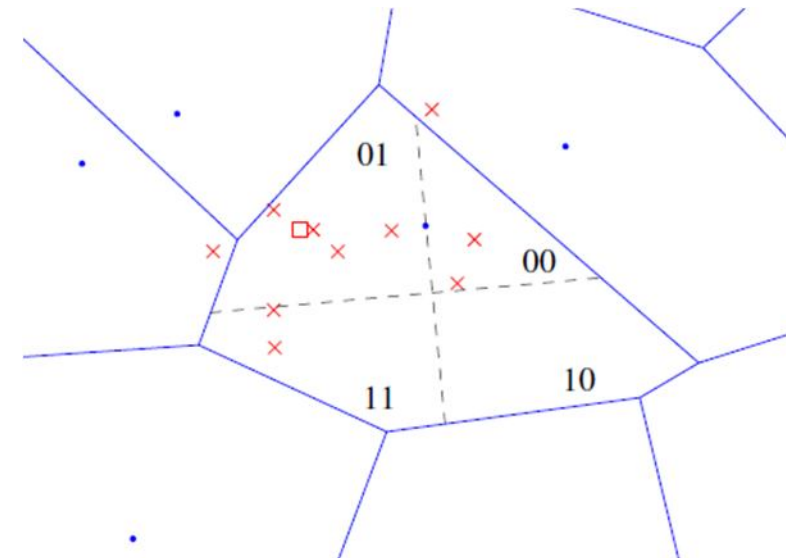


- 200К словарь



Hamming Embedding

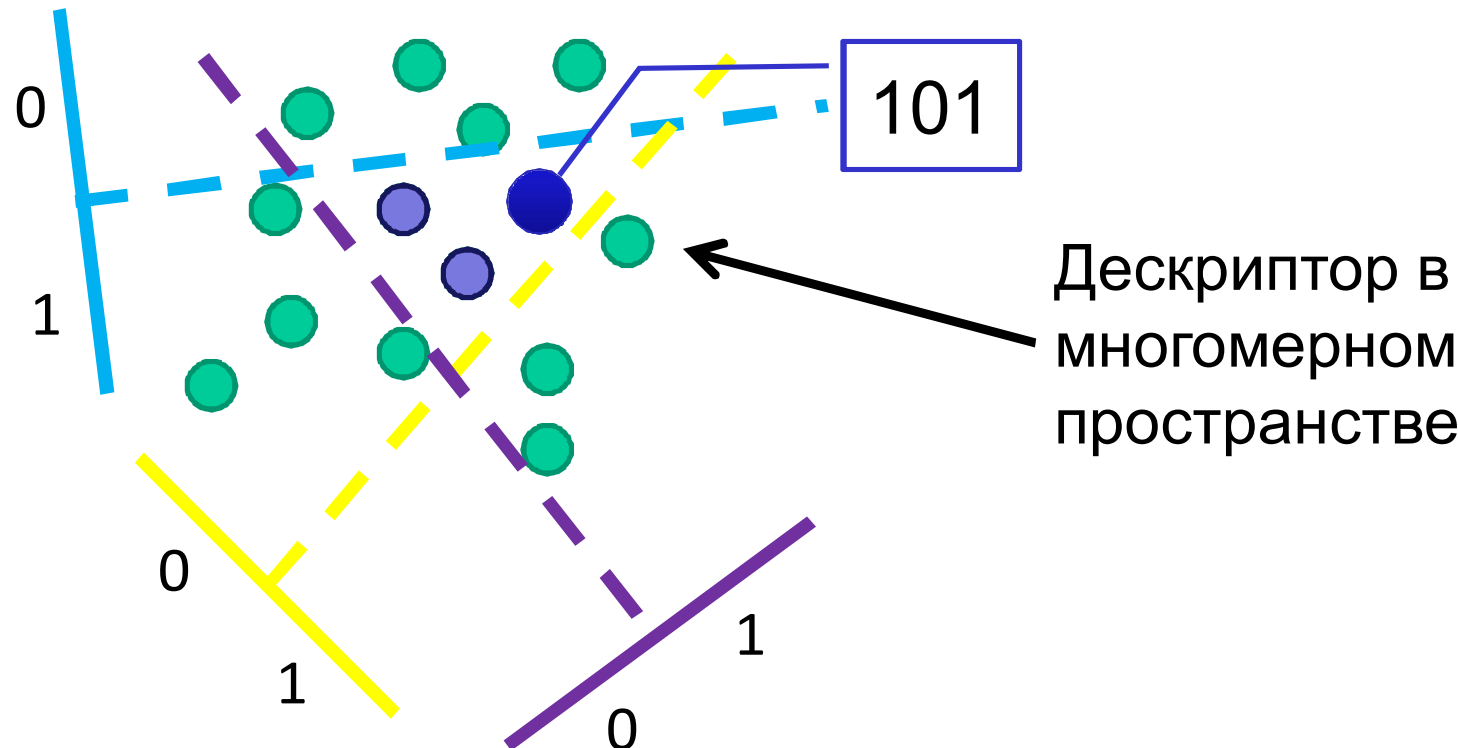
- Хотим записать не только #слова для особенности из изображения, но и описать положение внутри ячейки (доп.код)
- Будем сравнивать тогда не только по номеру, но и по доп.коду
- Код должен быть маленьким, и сравнение быстрое!
 - Построим бинарный код
 - Сравнивать будем по расстоянию Хэмминга





Locality Sensitive Hashing (LSH)

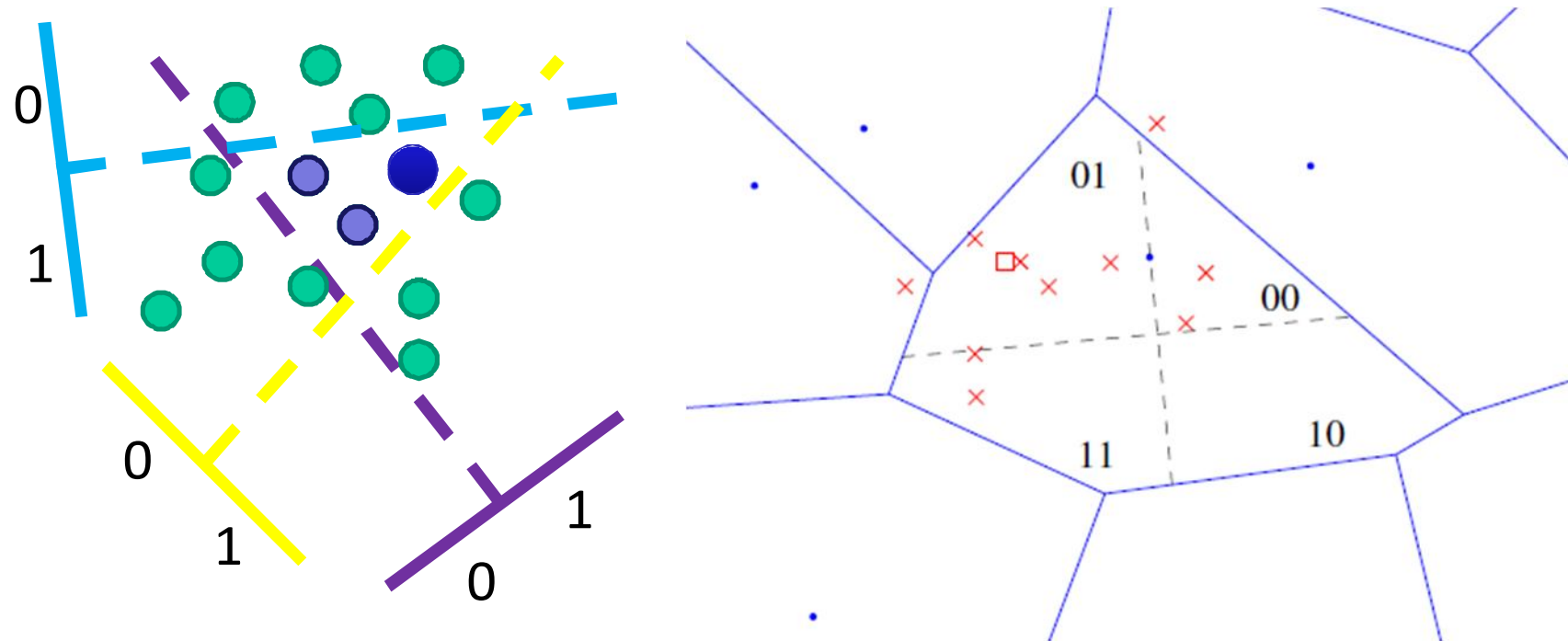
- Возьмем случайную проекцию данных на прямую
- Случайно выберем порог, пометив проекции 0 или 1 (1 бит подписи)
- С увеличением числа бит код приближает L2-метрику в исходных дескрипторах



A. Andoni and P. Indyk. Near-optimal hashing algorithms for approximate nearest neighbor in high dimensions. In FOCS, 2006



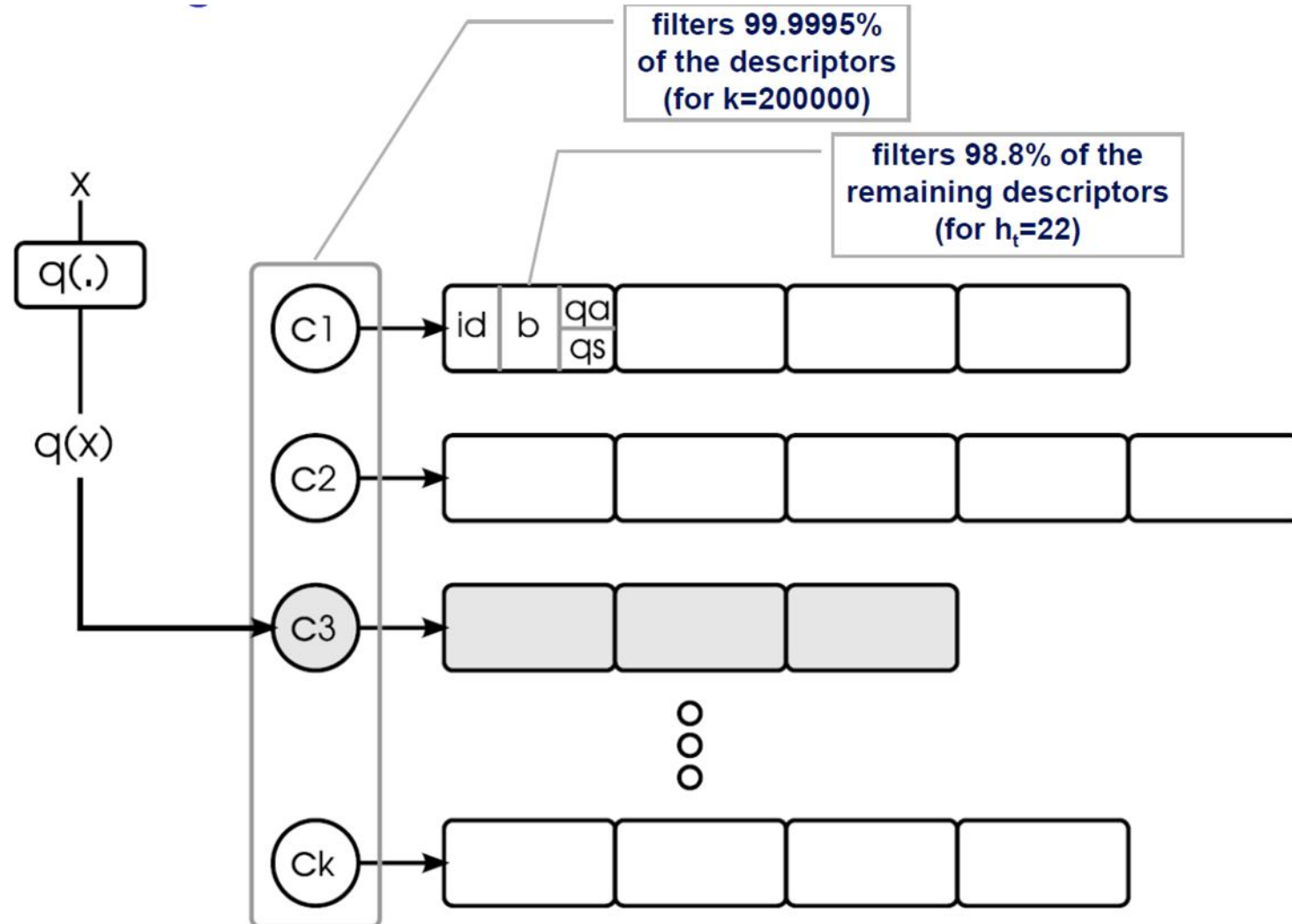
Hamming Embedding



- Возьмем все дескрипторы, попавшие в одну ячейку
- Сгенерируем n случайных прямых (направлений проецирования)
- Спроецируем все дескрипторы на прямую
- Выберем точку на прямой (порог) таким образом, чтобы справа и слева было поровну точек
 - Такой код будет оптимальным



Модификация индекса





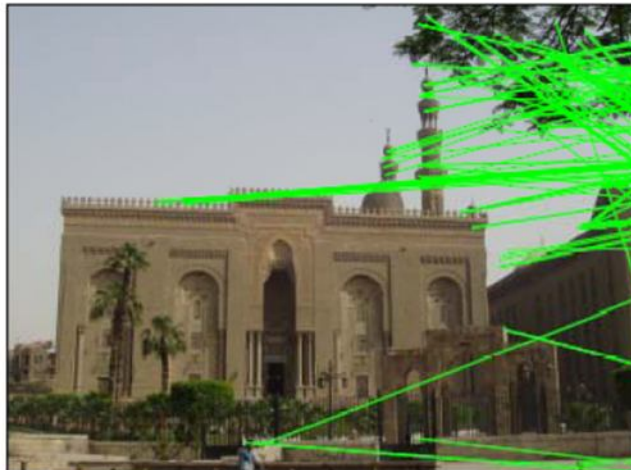
Алгоритм

- Для каждого дескриптора:
 - Квантуем по словарю (#слова)
 - Вычисление бинарного кода
- Считаем точки сопоставленными, только если выполняются оба условия:
 - #слов совпадают
 - Коды по расстоянию Хэмминга отличаются не более чем на z

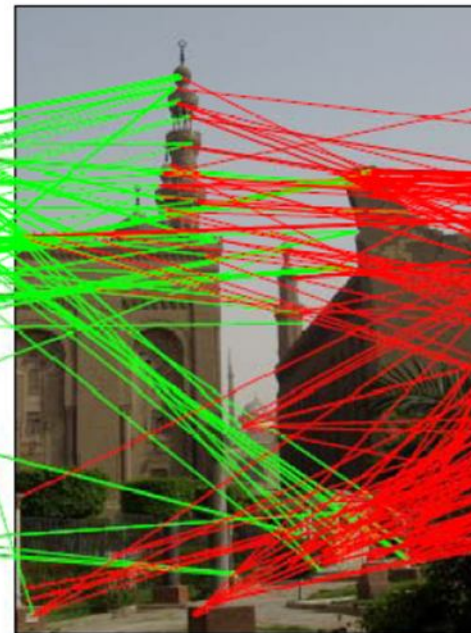


Пример

201 matches



240 matches



- 20К словарь

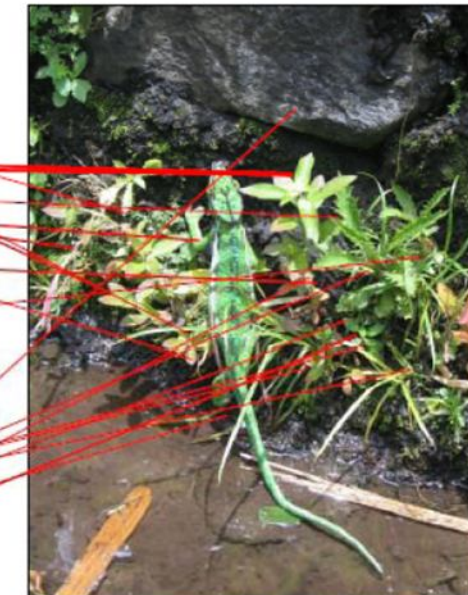
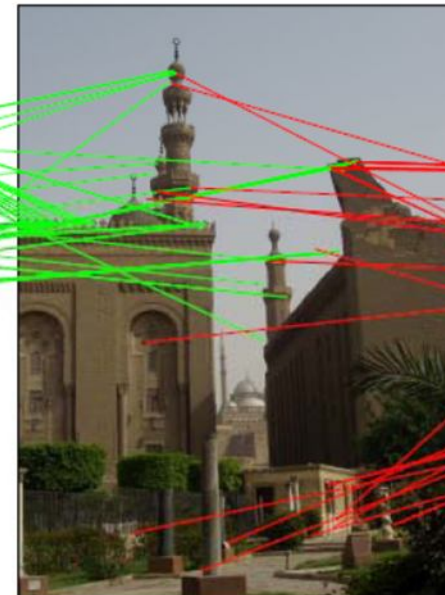


Пример

69 matches



35 matches

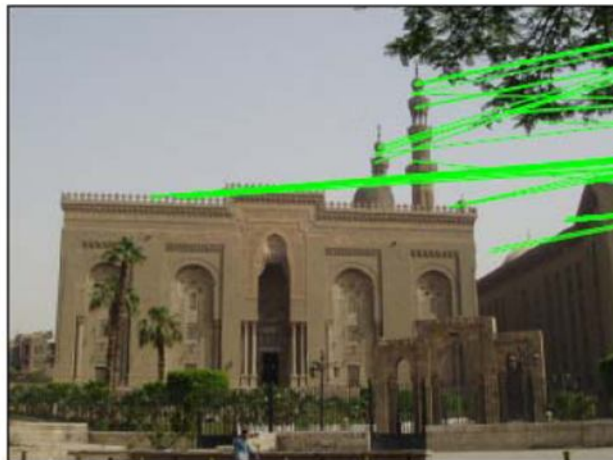


- 200К словарь



Hamming Embedding

83 matches



8 matches

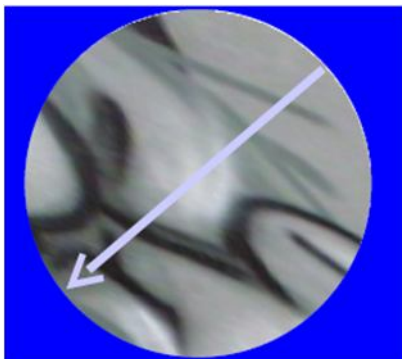


- Соответствий с правильным изображением в 10 раз больше, чем с неправильным!



«Слабая геометрия»

- Каждая характерная точка определяется в т.ч. масштабом (характерным размером) и ориентацией
- Пример:



- 20 градусов разницы по ориентации
- Масштаб в 1.5 раза

- Каждая сопоставление задаёт разницу по углу и масштабу
- Для изображения в целом изменение должны быть согласованы



Примеры



Pisa tower: Let analyze the dominant orientation difference of matching descriptors

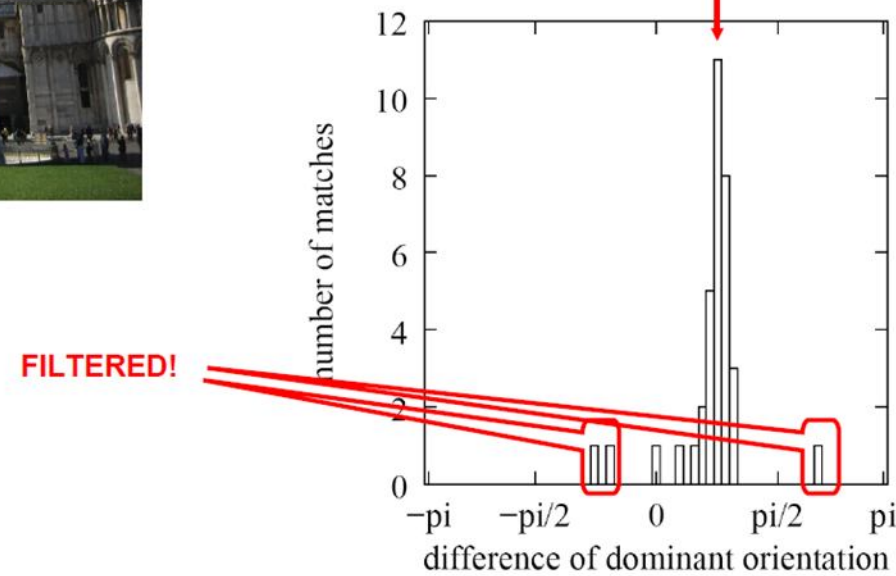


Примеры

Orientation consistency

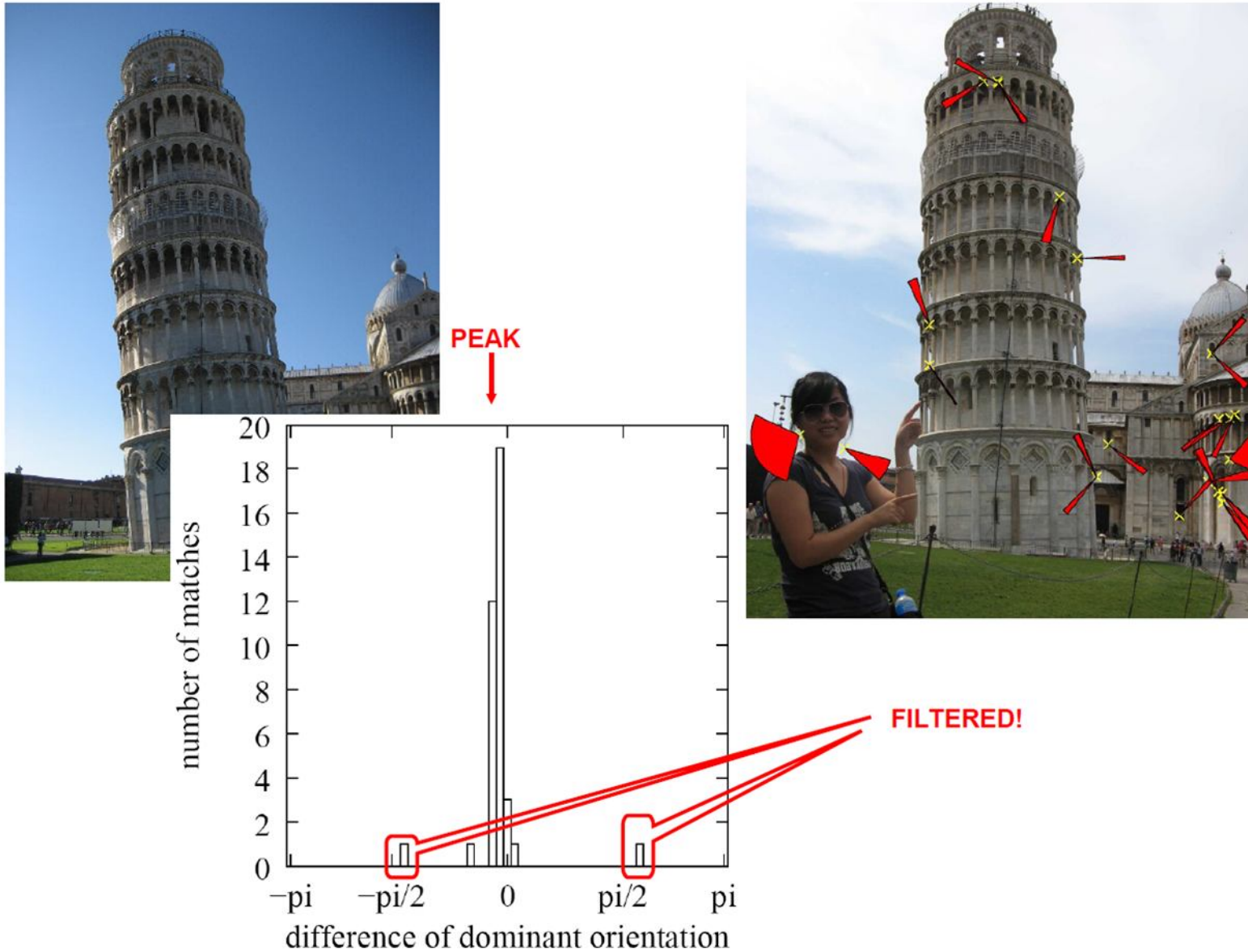


Max = rotation angle between images



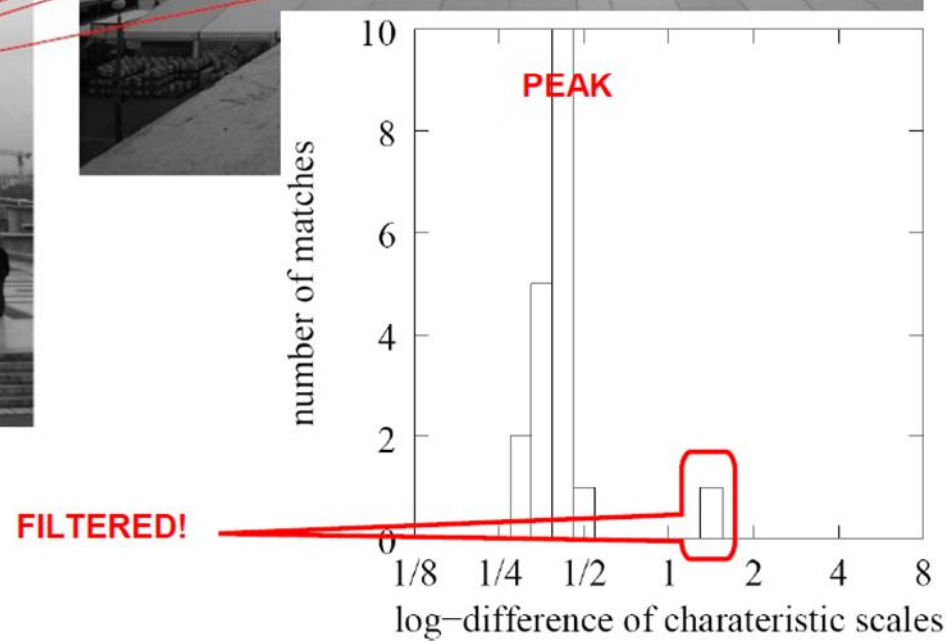
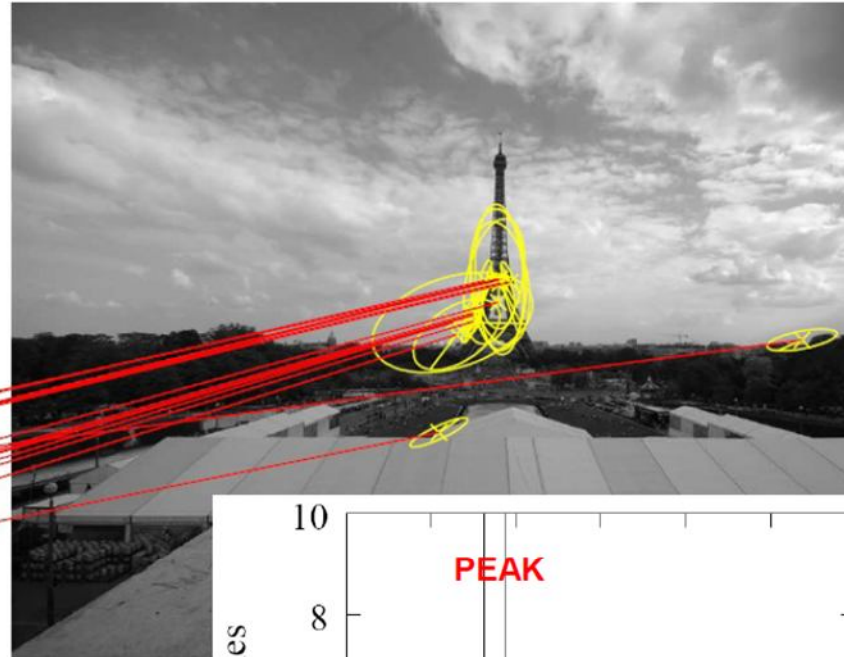


Примеры



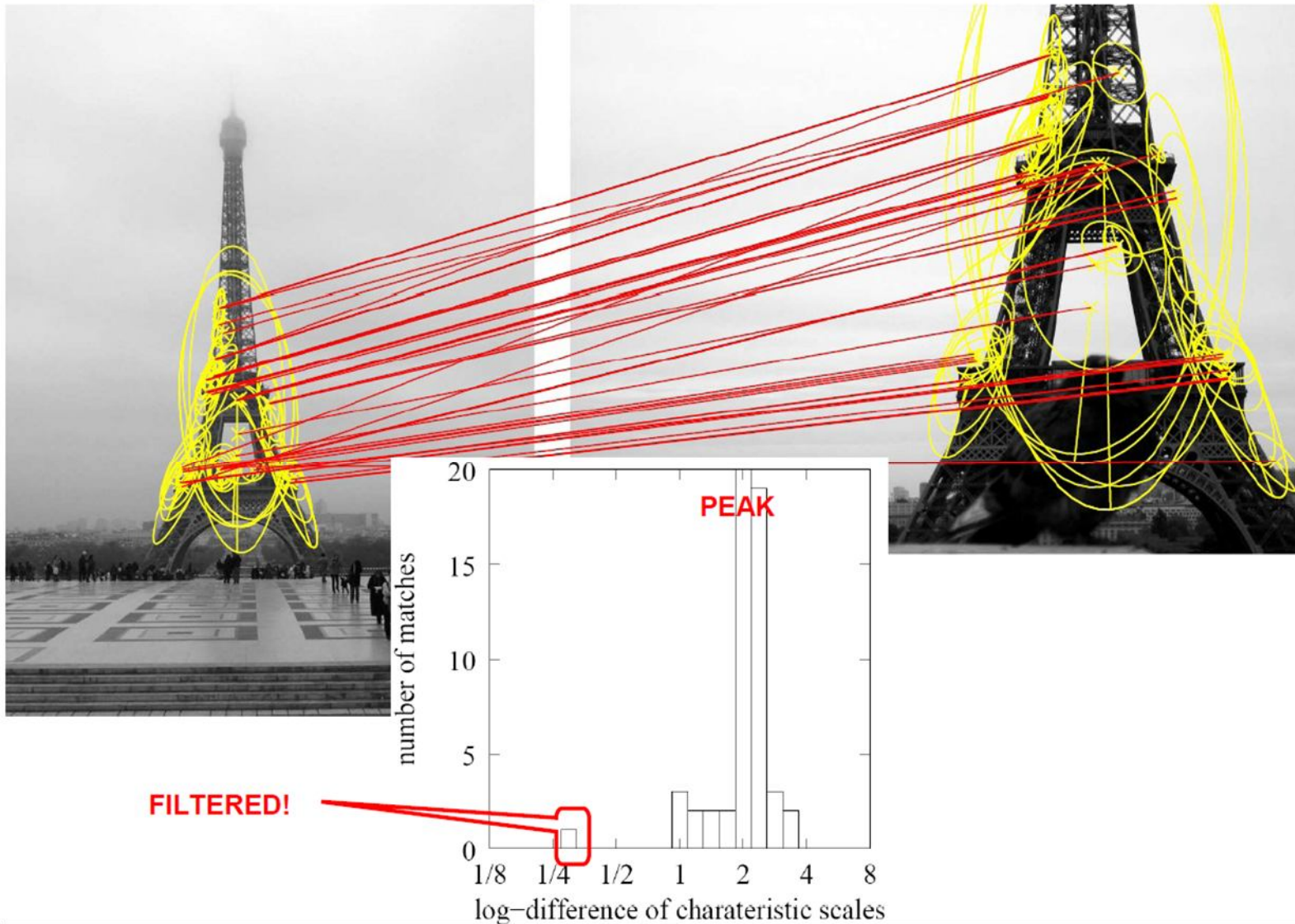


Примеры





Примеры



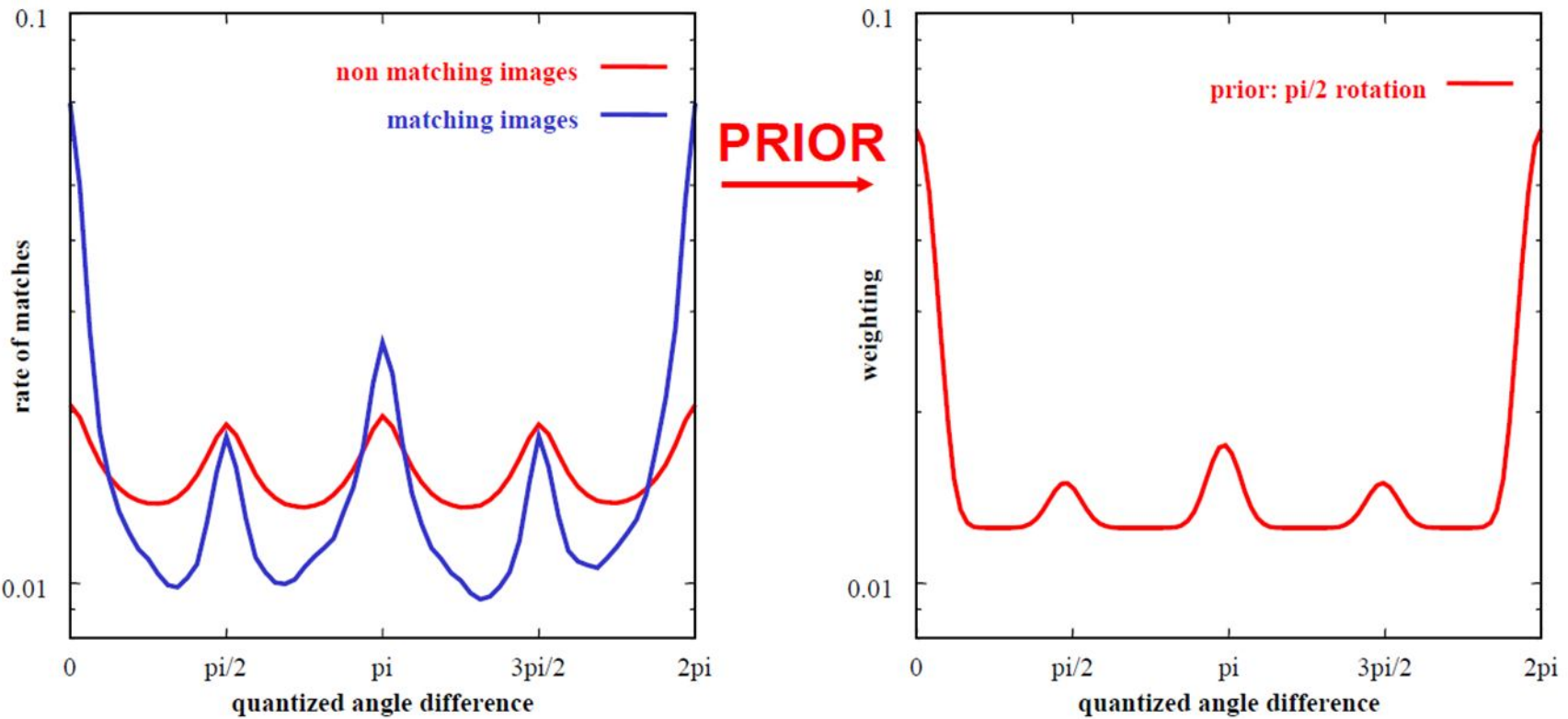


Смысл

- Масштаб и ориентация «примерно» не зависят друг от друга
- Голосование с учётом дискретного масштаба и поворота
 - Отдельный вес для каждой комбинации (угол/поворот)
 - Фактически, гистограмма
 - Берем максимумы по углу / масштабу
 - Берём из них минимум
- Только соответствия, согласованные по изменению масштаба и ориентации вносят вклад в финальную оценку



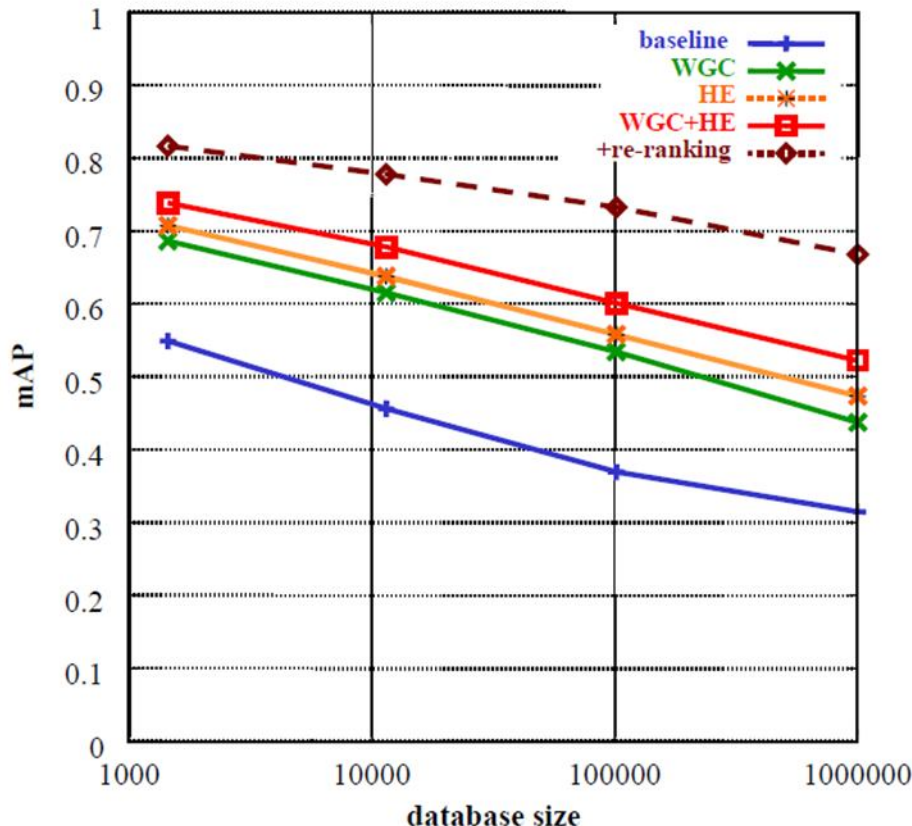
Априорные данные



- Люди фотографируют одну и ту же сцену с одинаковых ракурсов



Суммарный результат



Average query time (4 CPU cores)	
Compute descriptors	880 ms
Quantization	600 ms
Search – baseline	620 ms
Search – WGC	2110 ms
Search – HE	200 ms
Search – HE+WGC	650 ms

- Каждый элемент – weakly geometry, hamming embedding
ранжирование по геометрии существенно повышает точность
- При этом совместно использование WGC и HE позволяет достичь скорости, сравнимой с базовым методом!



Резюме «мешка слов»

- Большой словарь
 - + Слабая геометрия
 - + Hamming embedding
- Инвертированный индекс
- Ранжирование по сопоставлению
- Раскрытие запросов



Построение подписи

- Отойдём от инвертированного индекса
- Будем строить короткие «подписи» для каждого изображения с помощью «хэш-функций»
 - min-Hash
 - Семантическое хэширование
 - Локально-чувствительное хэширование
 - Обучение подписи
 - Спектральное хэширование
 - Обучение метрик и подписей



min-Hash

- Почти одинаковые изображения (шум, движение, и т.д.)
- Большие базы данных
- Быстрый поиск (линейный по числу дубликатов)



O.Chum, J.Philbin, A.Zisserman. Near Duplicate Image Detection: min-Hash and tf-idf Weighting, BMVC 2008

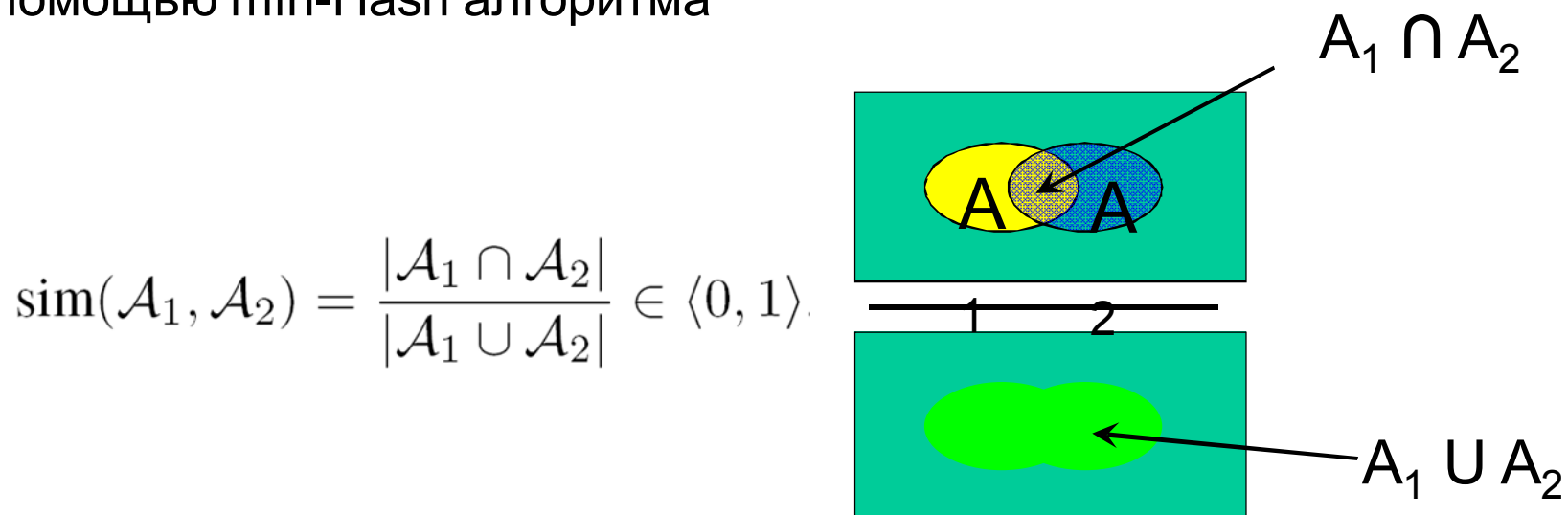


min-Hash

- Min-Hash - локально-чувствительная хэш-функция m (locality sensitive hashing, LSH), которая выбирает элементы $m(A_1)$ из набора A_1 и $m(A_2)$ из набора A_2 , таким образом, что выполняется:

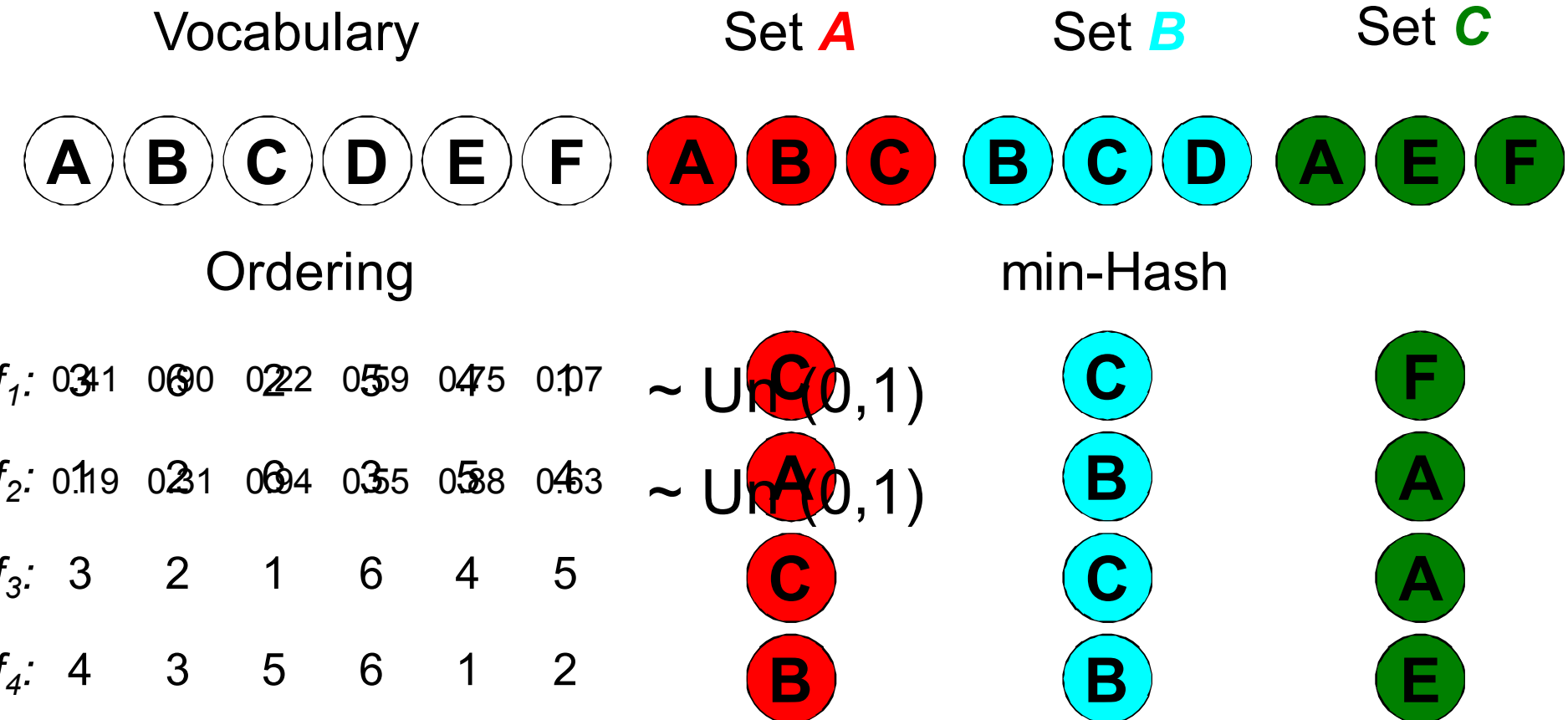
$$P\{m(A_1) == m(A_2)\} = \text{sim}(A_1, A_2)$$

- Похожие изображения должны иметь пересекающиеся наборы визуальных слов
- Сходство изображений измеряется как пересечение множеств с помощью min-Hash алгоритма





min-Hash



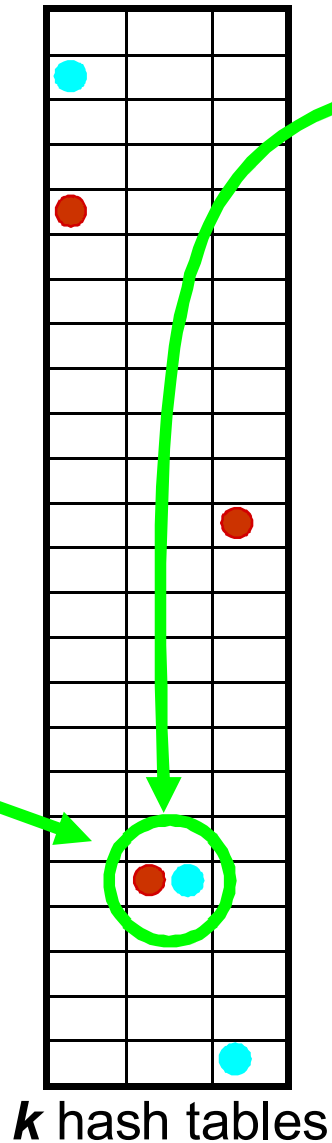
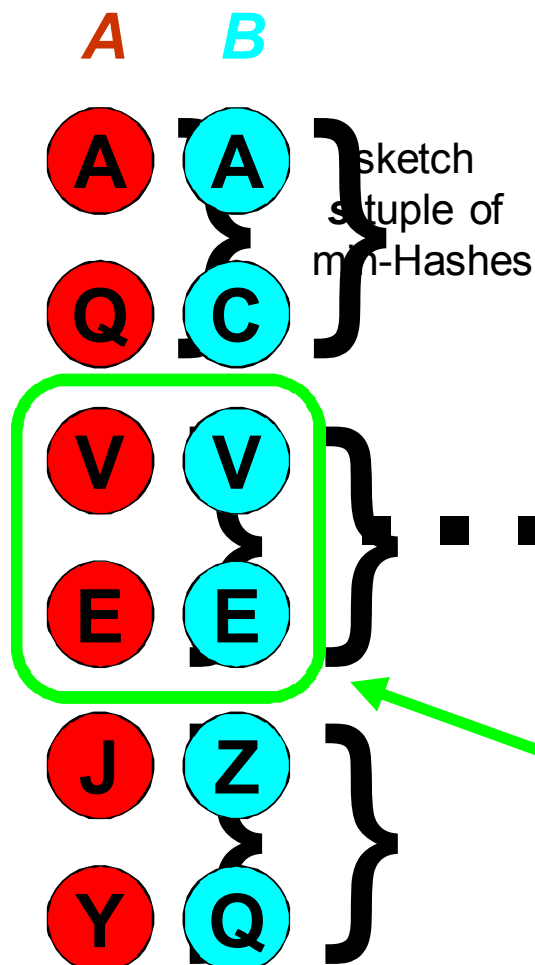
overlap (**A,B**) = 3/4 (1/2)

overlap (**A,C**) = 1/4 (1/5)

overlap (**B,C**) = 0 (0)



min-Hash Retrieval



Sketch collision

s – размер sketch

k – количество хэш-таблиц

Вероятность коллизии:

$$\text{sim}(A, B)^s$$

Вероятность извлечь
(минимум 1 коллизия скетча)

$$1 - (1 - \text{sim}(A, B)^s)^k$$



Более сложные метрики

- Модель «**Set of words**» с весами
- Вес d_w задаёт «важность» слова X_w

$$\text{sim}_w(\mathcal{A}_1, \mathcal{A}_2) = \frac{\sum_{X_w \in \mathcal{A}_1 \cap \mathcal{A}_2} d_w}{\sum_{X_w \in \mathcal{A}_1 \cup \mathcal{A}_2} d_w}$$

- Модель «**Bag of words**»
- Храним и частот слов
- Метрика - пересечение гистограмм

$$\text{sim}_{h_0}(\mathcal{A}_1, \mathcal{A}_2) = \frac{\sum_w \min(t_1^w, t_2^w)}{\sum_w \max(t_1^w, t_2^w)}$$

- Модель **Bag of words**, но с учетом весов для слов:

$$\text{sim}_h(\mathcal{A}_1, \mathcal{A}_2) = \frac{\sum_w d_w \min(t_1^w, t_2^w)}{\sum_w d_w \max(t_1^w, t_2^w)}$$



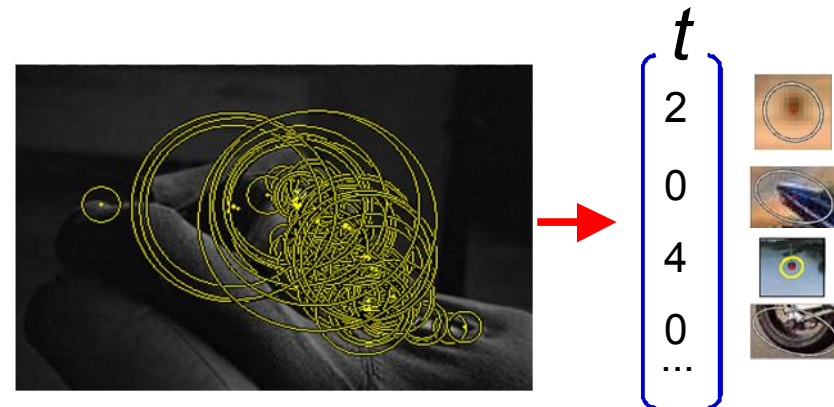
TF-IDF

Term Frequency – Inverse Document Frequency (*tf-idf*) weighting scheme

$$idf_W = \log \frac{\# \text{ documents}}{\# \text{ docs containing } X_W}$$

Записываем частоты слов
(хорошо для повторяющихся
структур и т.д.)

Слова, встречающиеся во многих
документах, малоинформативны



- [1] Baeza-Yates, Ribeiro-Neto. Modern Information Retrieval. ACM Press, 1999.
- [2] Sivic, Zisserman. Video Google: A text retrieval approach to object matching in videos. ICCV'03.
- [3] Nister, Stewenius. Scalable recognition with a vocabulary tree. CVPR'06.
- [4] Philbin, Chum, Isard, Sivic, Zisserman. Object retrieval with large vocabularies and fast spatial matching. CVPR'07.



Добавление весов в min-Hash

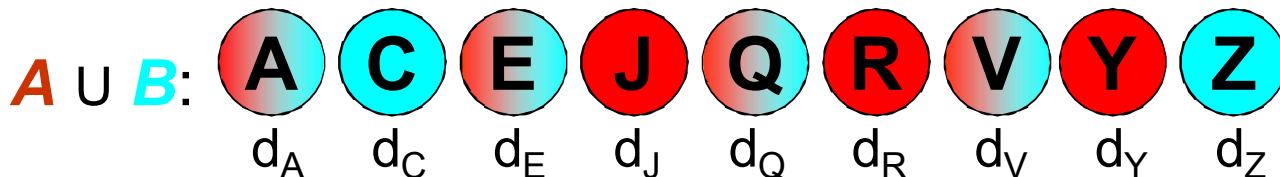
Для исходной min-hash функции $f_j(X_w) = x \quad x \sim \text{Un}(1, 0)$

У всех слов X_w одинаковая вероятность быть min-Hash

Для функции

$$f_j(X_w) = \frac{-\log x}{d_w} \quad x \sim \text{Un}(1, 0)$$

Вероятность для X_w быть min-Hash пропорциональна d_w



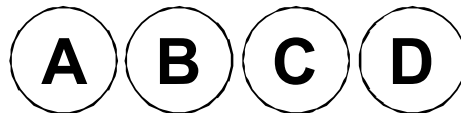
$$P(m(\mathcal{A}) = m(\mathcal{B})) = \frac{\sum_{X_w \in \mathcal{A} \cap \mathcal{B}} d_w}{\sum_{X_w \in \mathcal{A} \cup \mathcal{B}} d_w}$$



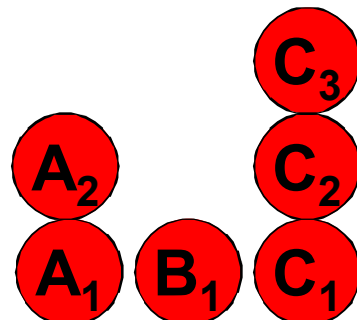
Пересечение гистограмм с min-Hash

Идея: представим гистограмму как набор, затем используем min-Hash для наборов

Слова:

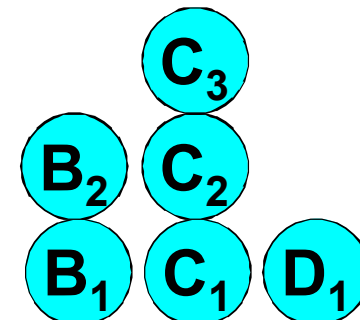


Мешок слов A / набор A'



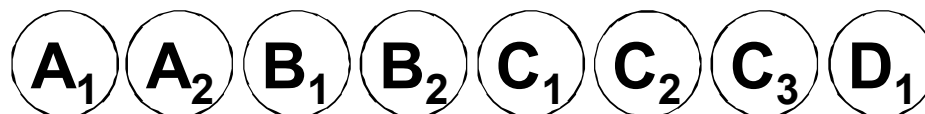
$$t_A = (2, 1, 3, 0)$$

Мешок слов B / набор B'

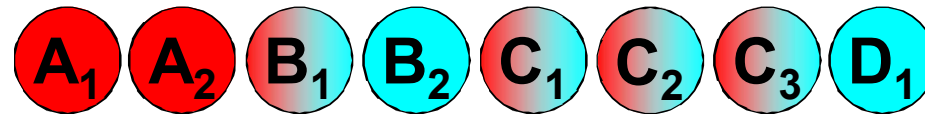


$$t_B = (0, 2, 3, 1)$$

min-Hash словарь:



$A' \cup B'$:

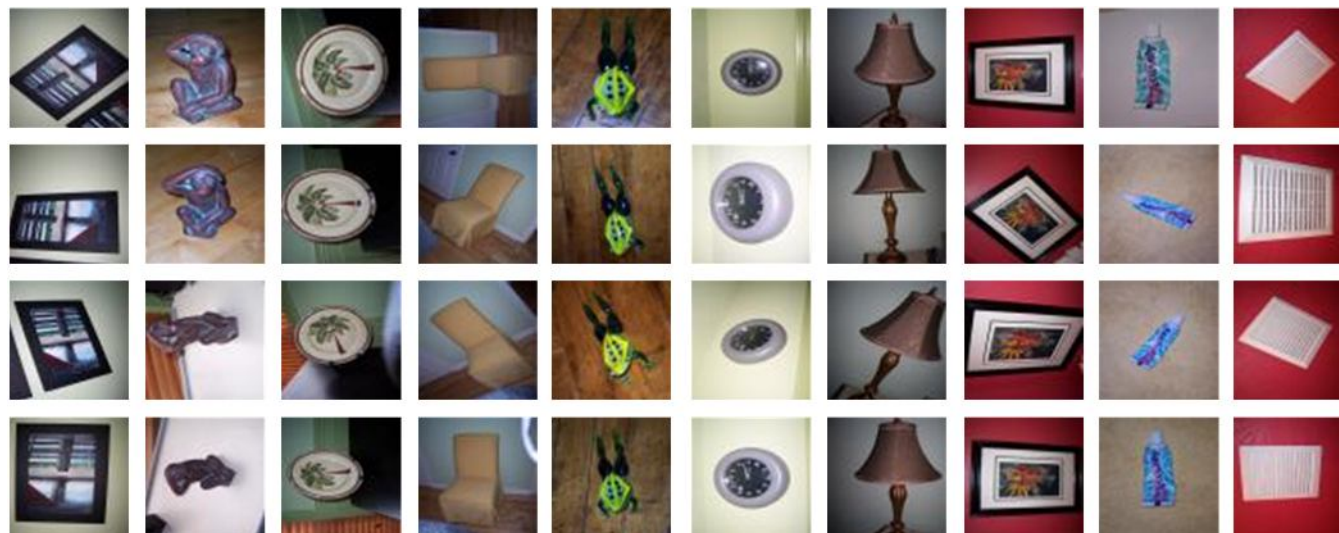


Пересечение множеств A' и B' = пересечение гистограмм A и B



Тестирование метода

- Данные - University of Kentucky Dataset
- 10,200 изображений по 4 в группе
- Запрашиваем последовательно изображение из каждой группы
- Измеряем количество правильно найденных из 4x самых верхних в списке найденных





Примеры запросов

Query image:



- Наибольшую точность показывает использование взвешенной гистограммы
- Также при этом меньше возникает коллизий в хэшах

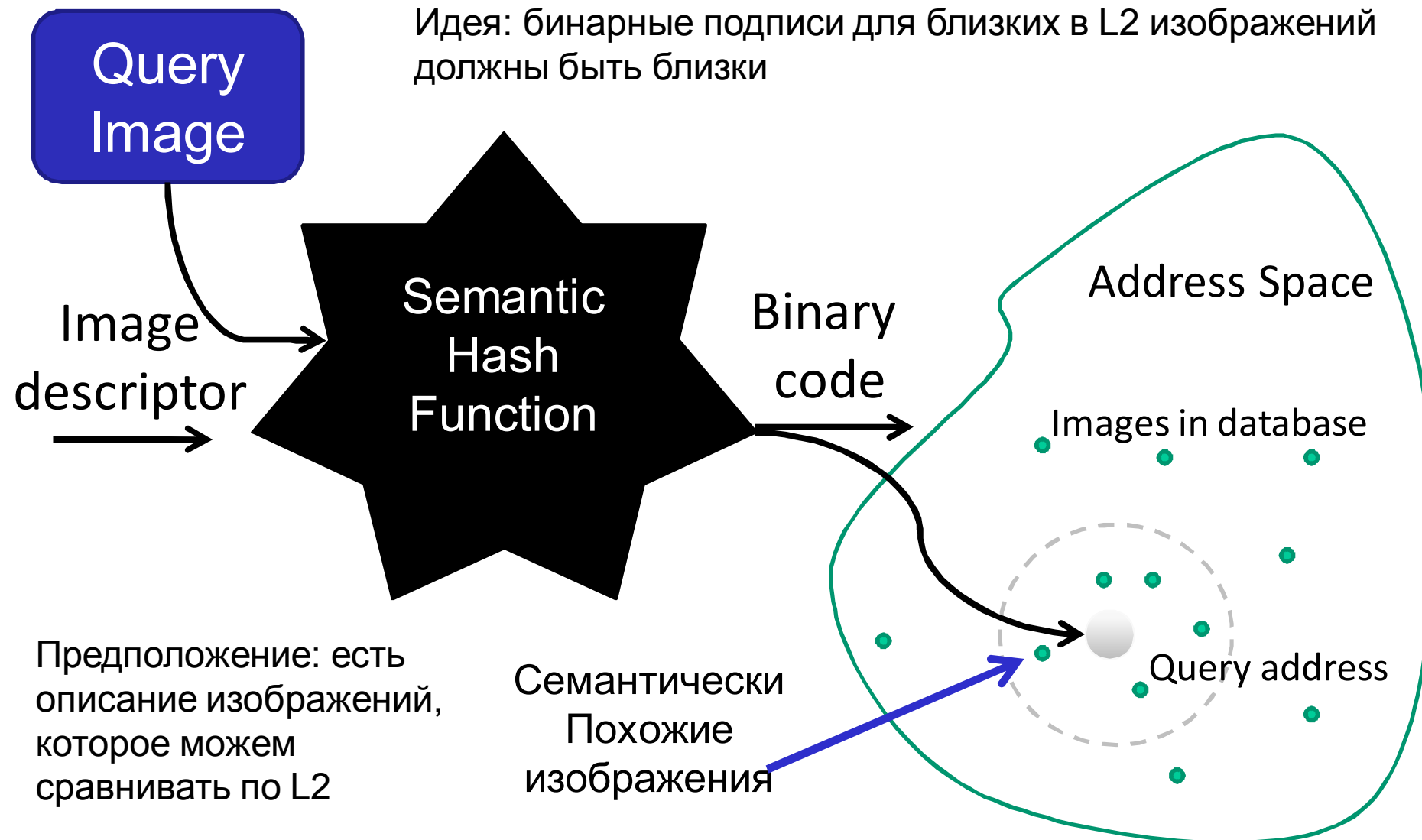


Результаты:

Set overlap, weighted set overlap, weighted histogram intersection



Семантическое хеширование



R. R. Salakhutdinov and G. E. Hinton. Semantic hashing. In SIGIR workshop on Information Retrieval and applications of Graphical Models, 2007.



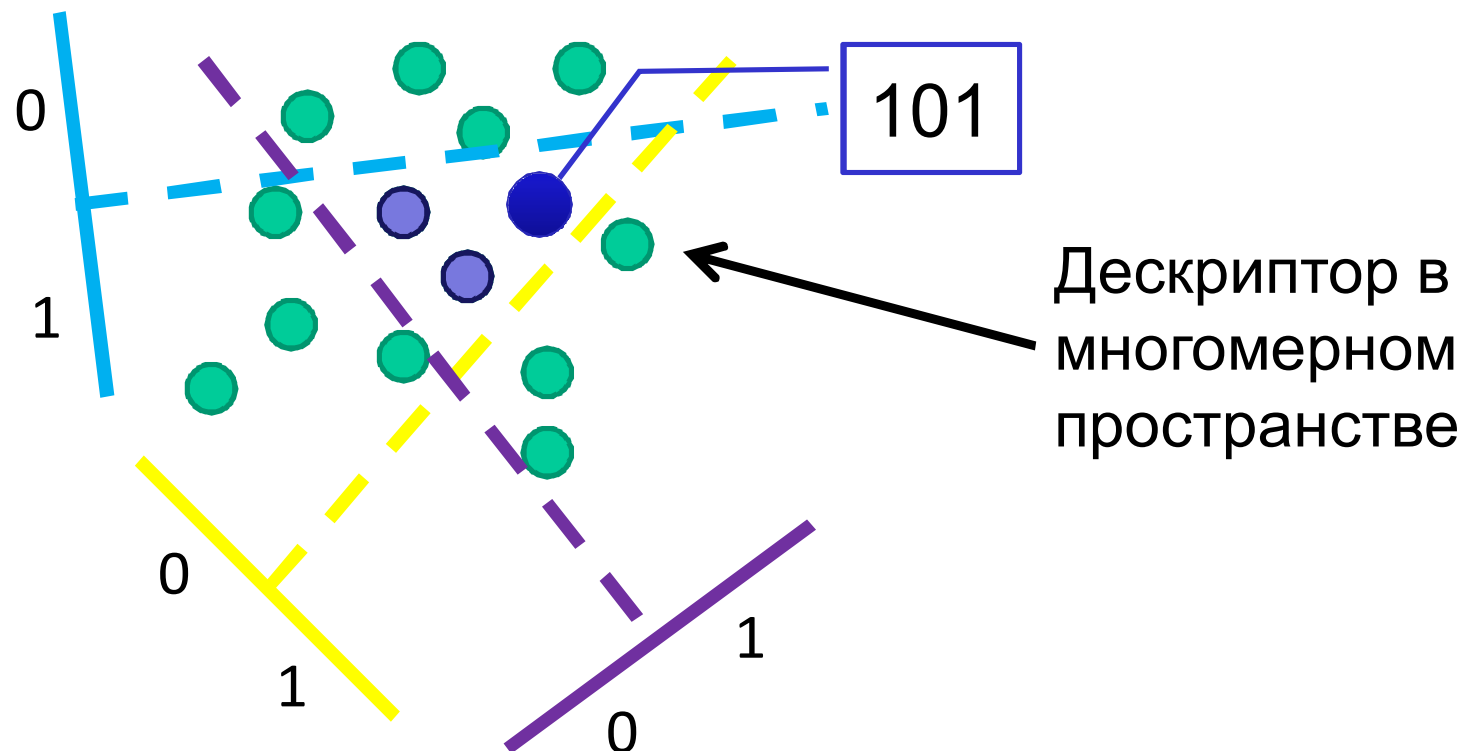
Формализация

- Смысл:
 - Имеем x, y – вектора (дескрипторы)
 - Хотим получить бинарный код $h(x)$
- $h(x)$ – семантическая хэш-функция
- Вариант формулировки:
 - $N_{100}(x)$ – ближайшие 100 в исходном пространстве по L2
 - Хотим найти $h(x)$ – бинарную подпись, такую что
 - $N_{100}(x) = N_{100}(y)$
 - Где $N_{100}(y)$ – расстояние Хэмминга



Locality Sensitive Hashing (LSH)

- Возьмем случайную проекцию данных на прямую
- Случайно выберем порог, пометив проекции 0 или 1 (1 бит подписи)
- С увеличением числа бит подпись приближает L2-метрику в исходных дескрипторах



A. Andoni and P. Indyk. Near-optimal hashing algorithms for approximate nearest neighbor in high dimensions. In FOCS, 2006

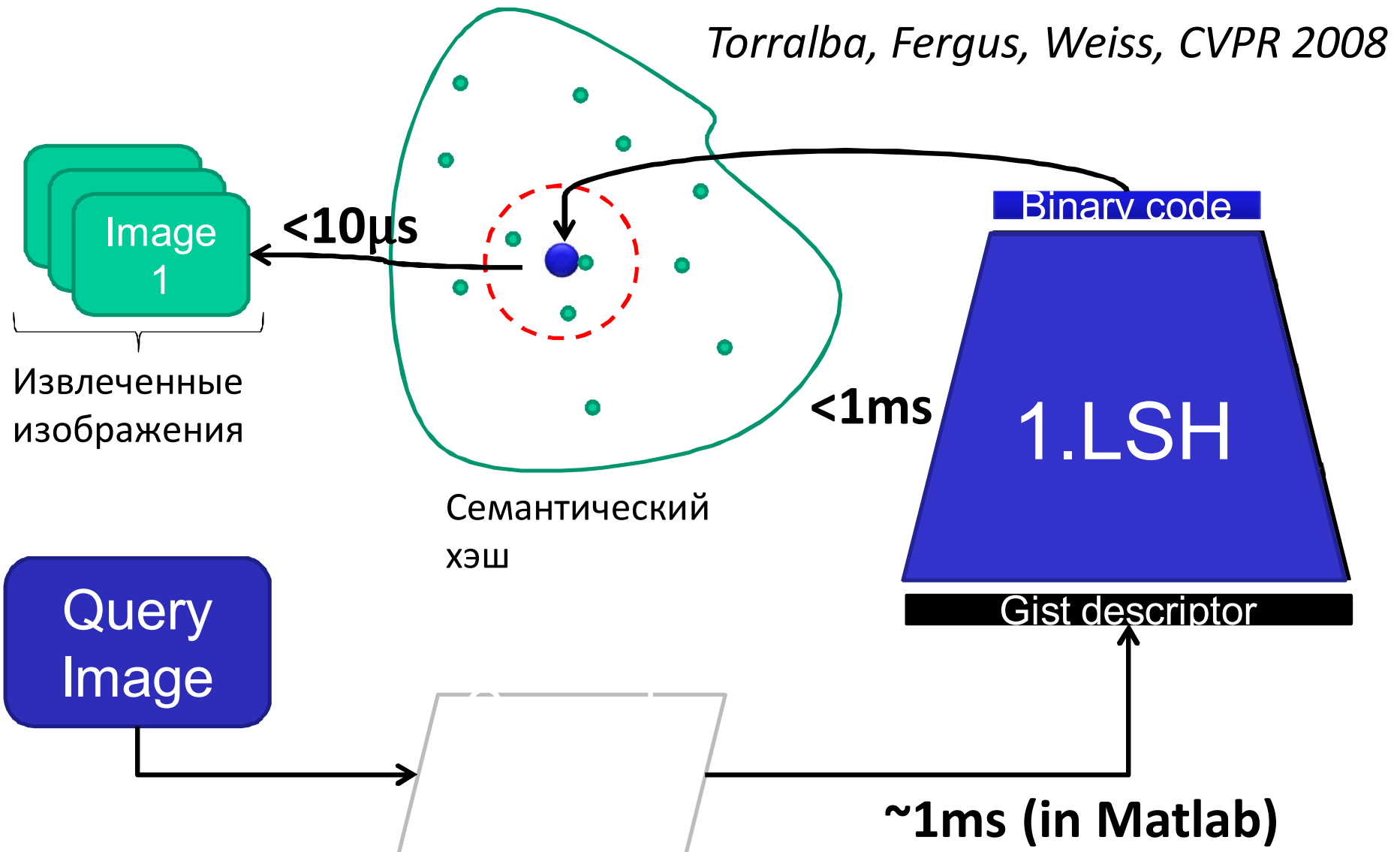


Locality Sensitive Hashing (LSH)

- Недостатки:
 - Приближение L2 лишь асимптотическое
 - На практике может потребоваться слишком много бит для подписи



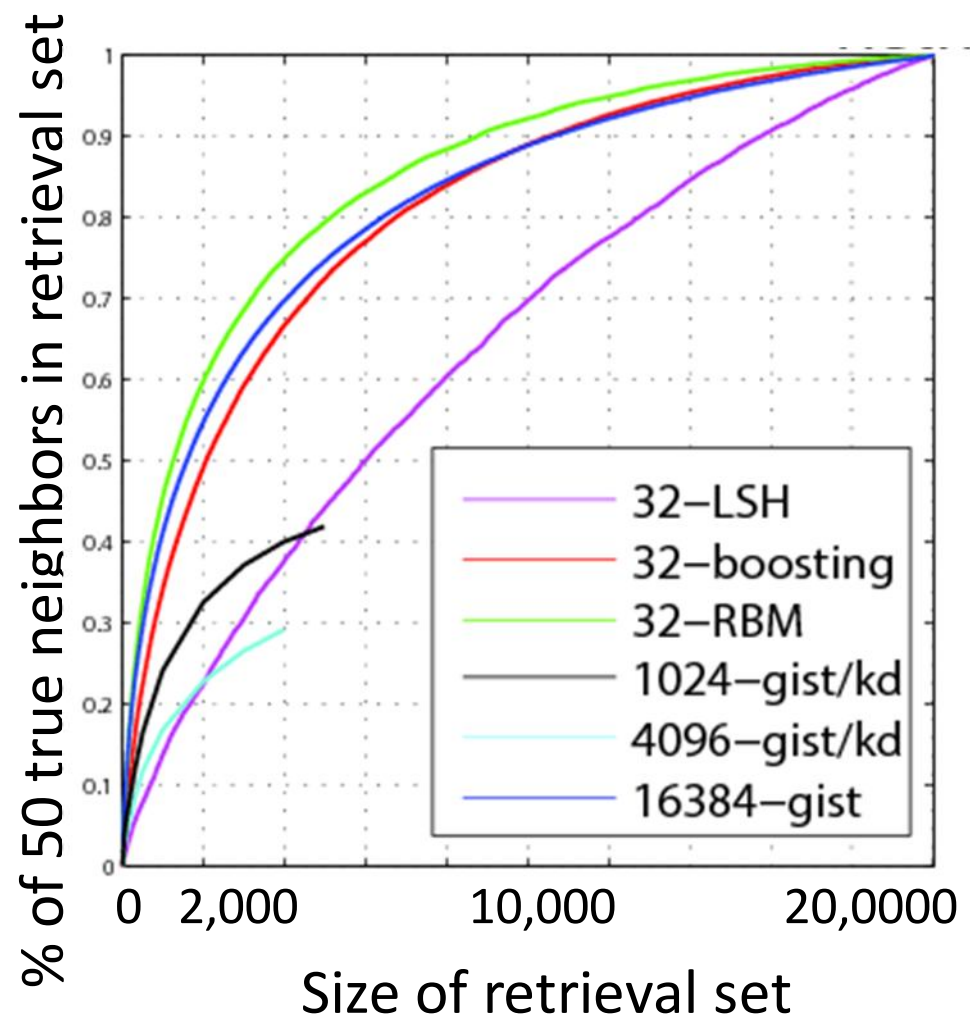
Обучение бинарных кодов





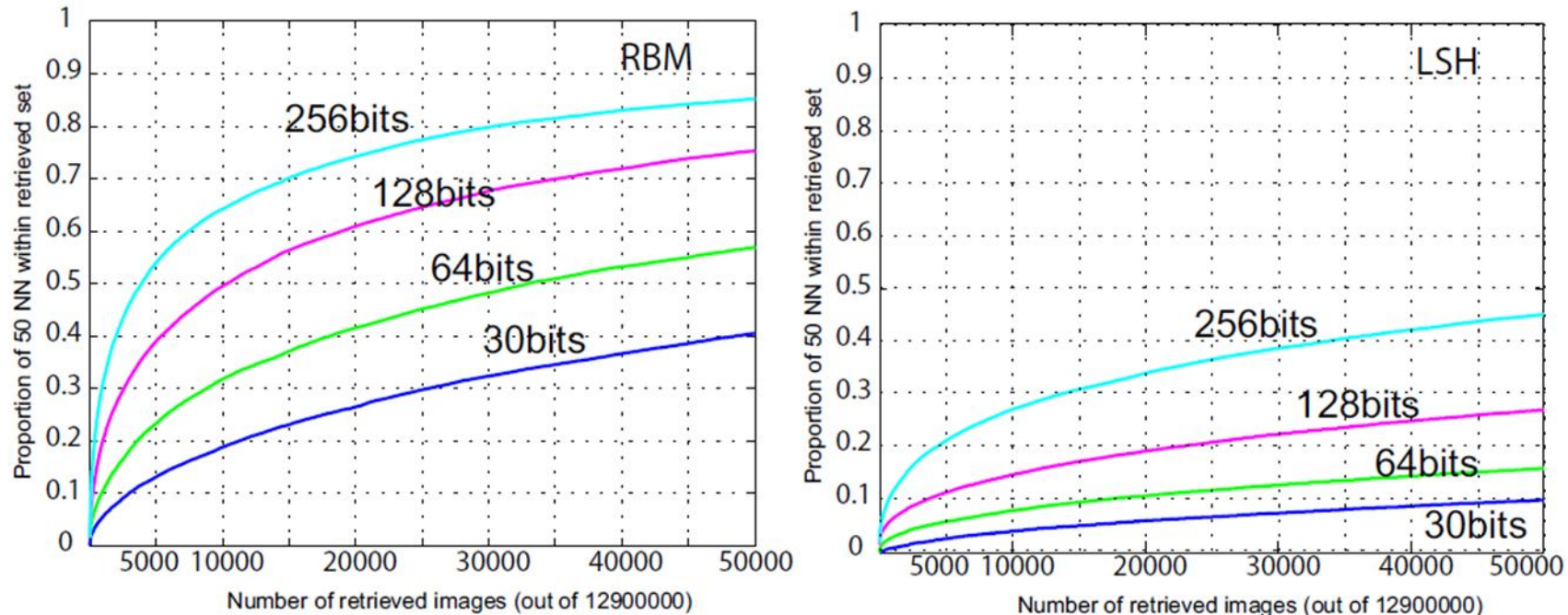
Сравнение на LabelMe

- 32-bit коды работают так же хорошо, как исходный дескриптор в 512 вещественных чисел
- Методы на основе обучения обгоняют LSH





Сравнение на web



- Сравнение на 12.9М изображений

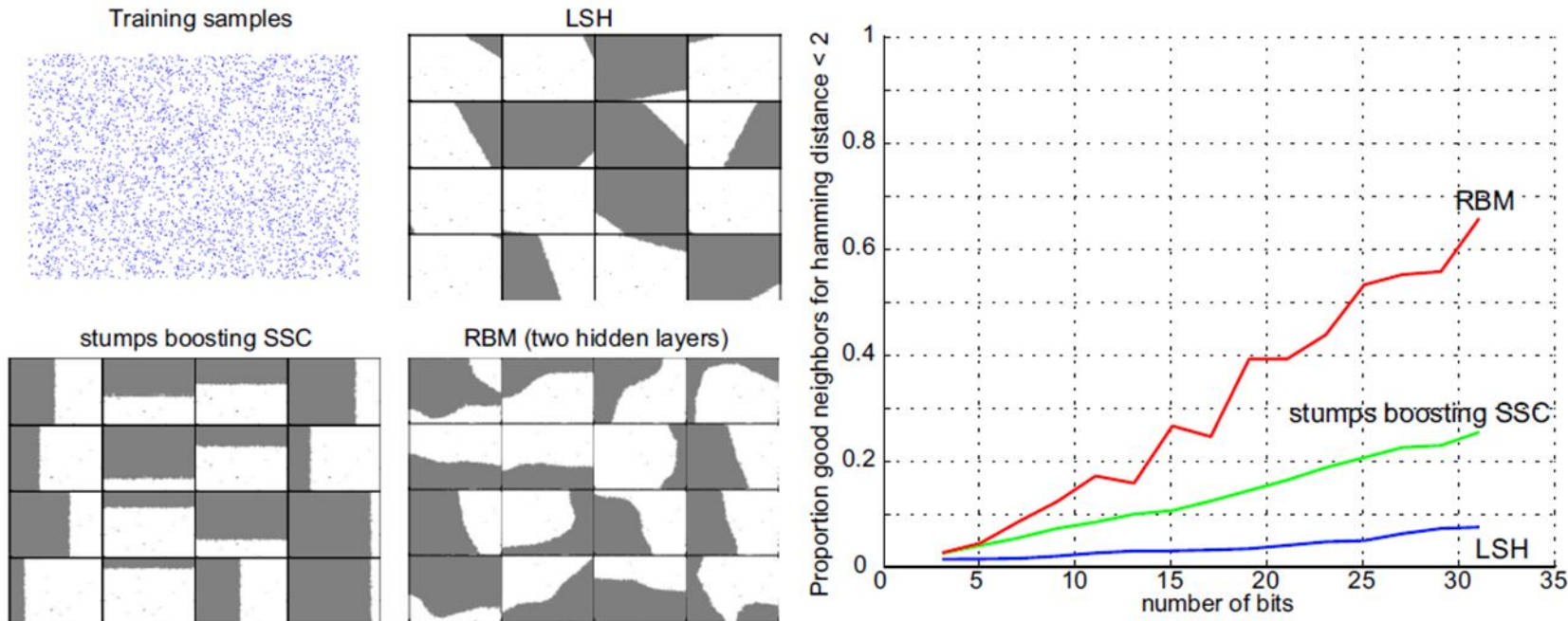


Сравнение





Анализ обучения



- Рассмотрим синтетический пример – точки на прямоугольнике
- Бинарные подписи фактически задают «базис» описания окрестности
- LSH даёт самое грубое описание окрестности



Спектральное хэширование

- Пусть x – исходные дескрипторы, y – подписи
- W – матрица расстояний между дескрипторами

$$W(i, j) = \exp(-\|x_i - x_j\|^2/\epsilon^2)$$

- Тогда задача оптимальных подписей:

$$\text{minimize} : \sum_{ij} W_{ij} \|y_i - y_j\|^2$$

$$\text{subject to} : y_i \in \{-1, 1\}^k$$

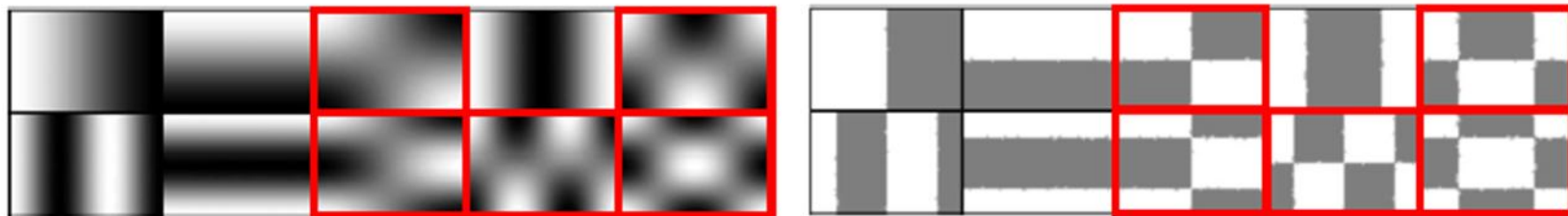
$$\sum_i y_i = 0$$

$$\frac{1}{n} \sum_i y_i y_i^T = I$$

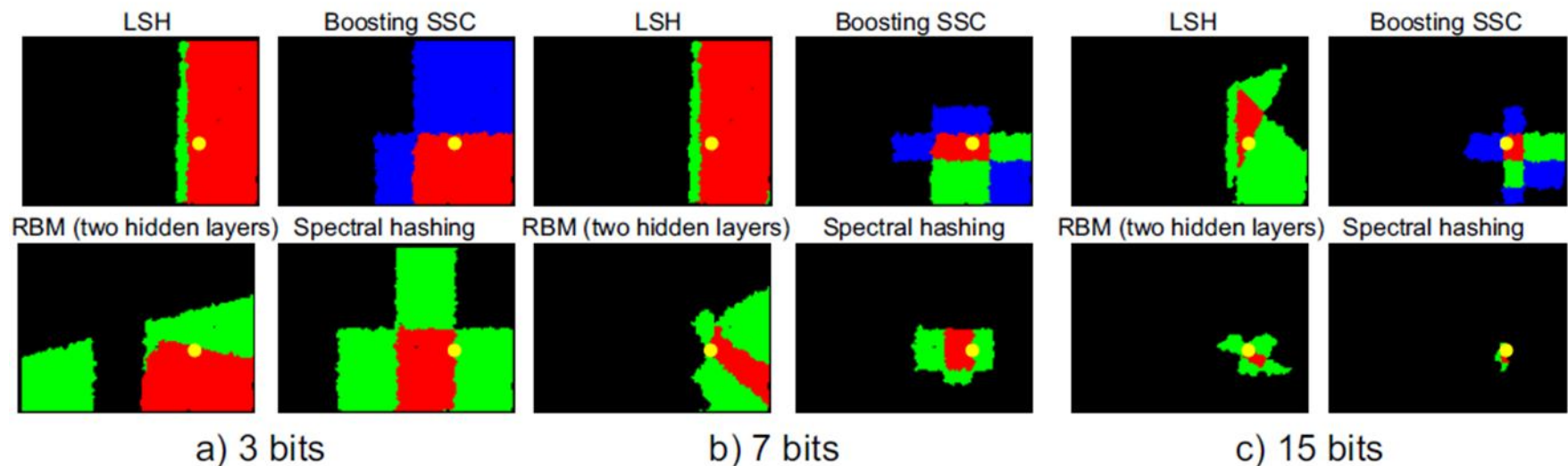
- Ослабив постановку задачи получим эффективный алгоритм приближенного решения!



Спектральное хэширование



Построение базисных функций

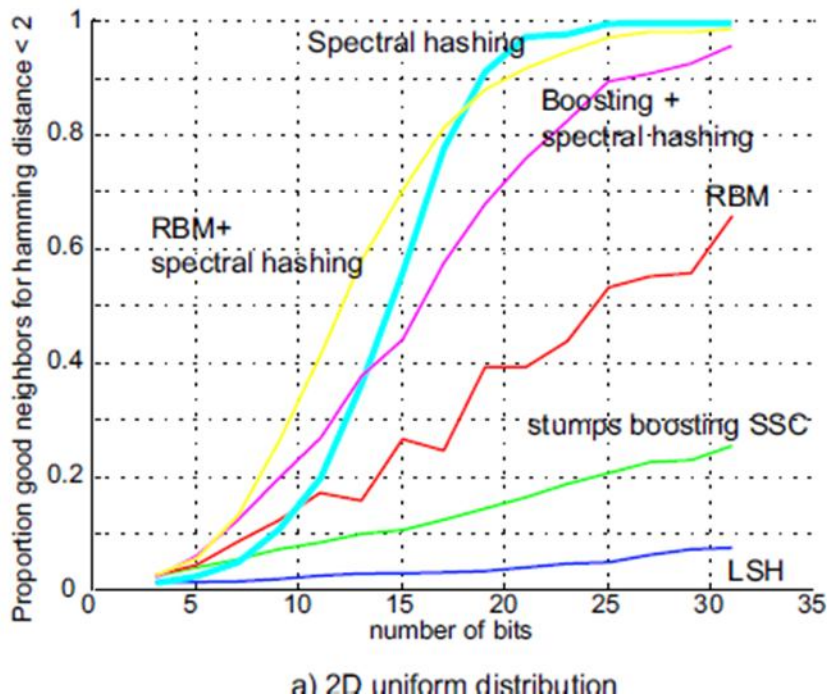


Сравнение окрестностей по функциям

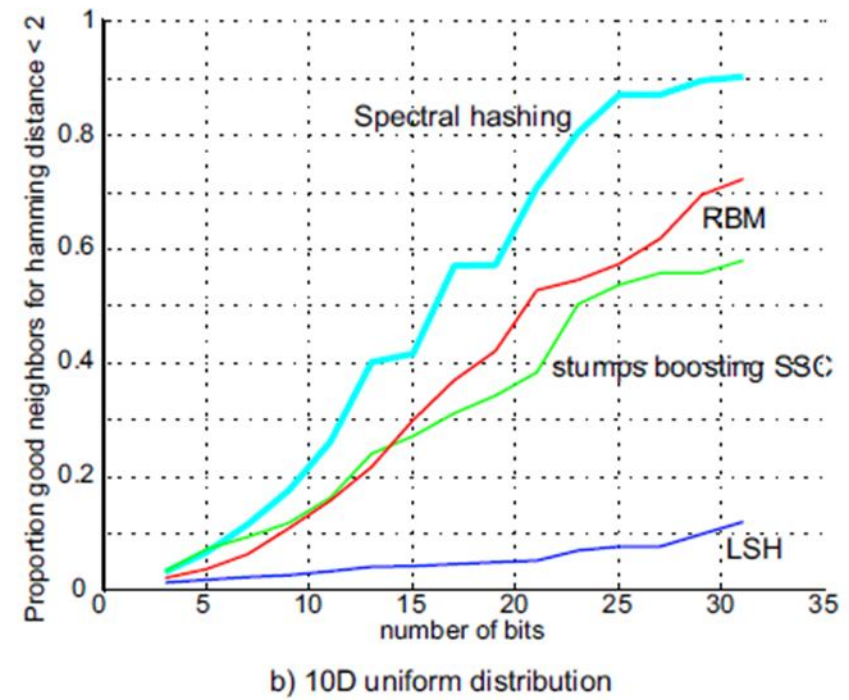
Weiss, Y., Torralba, A.B., Fergus, R.: Spectral hashing. NIPS, 2008



Результаты



a) 2D uniform distribution



b) 10D uniform distribution

Weiss, Y., Torralba, A.B., Fergus, R.: Spectral hashing. NIPS, 2008



Обучаемые метрики



непохожи



похожи



- Что если для наших дескрипторов Евклидово расстояние плохо подходит для описание близости изображений?
- Если можем выбрать похожие/непохожие изображения иначе, то можем обучить правильную метрику!
- Вид:
 - $r(x_1, x_2) = (x_1 - x_2)^T A (x_1 - x_2)$



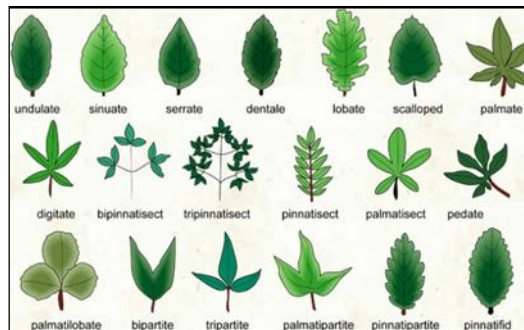
Когда применимо?



Частично-размеченная
база изображений



Полностью размеченная
база

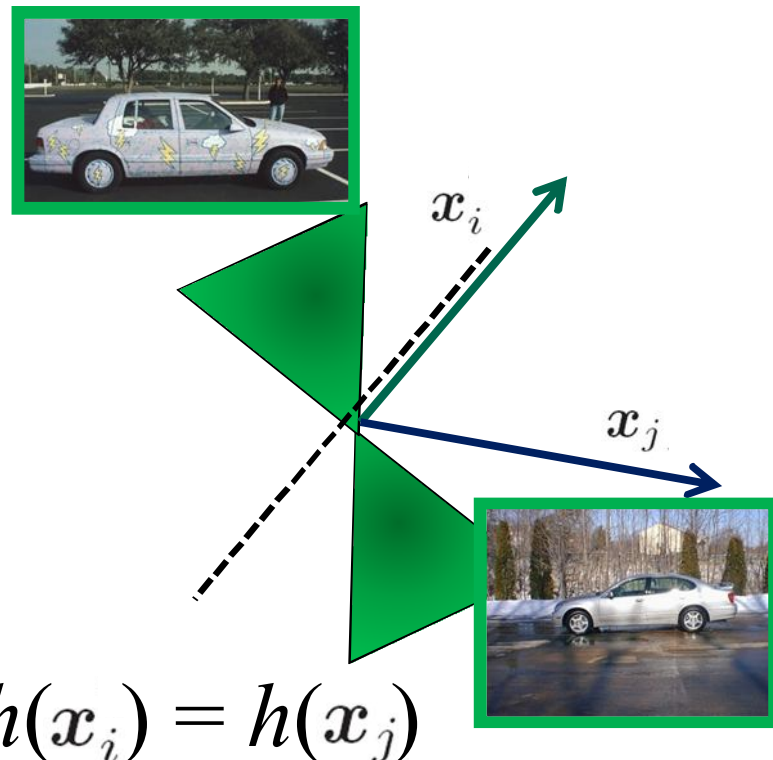


Специфическая
проблемная область

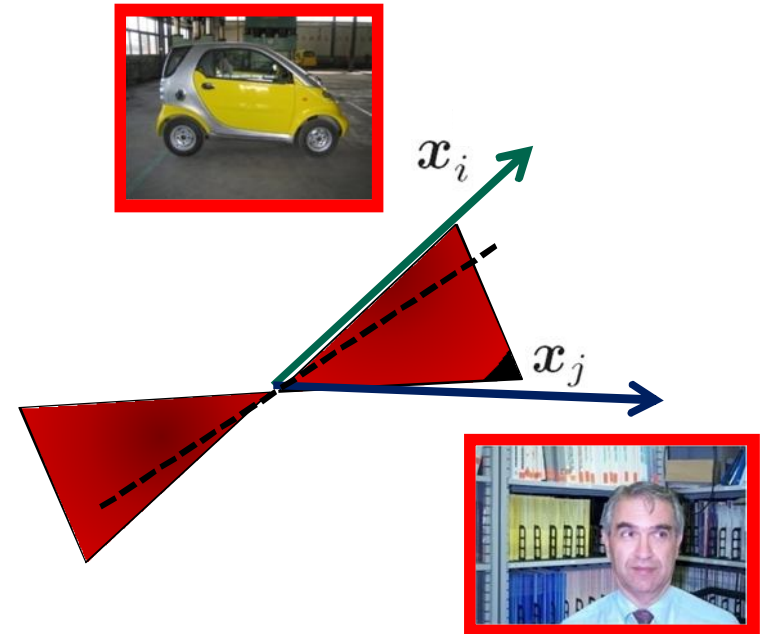


Быстрый поиск

Обучим расстояние через LSH



С меньшей вероятностью
разбиваем подобные пары с
ограничением сходства



С большей вероятностью
разобьем пары с ограничением
несходства



Результаты



- Сравнение на tiny images (80M)
- Обученная метрика позволяет найти те же результаты, но просмотрев меньше 1% базы
- Скорость – 0.5с вместо 45с

B. Kulis and K. Grauman. Kernelized locality-sensitive hashing for scalable image search. In *ICCV*, 2009.

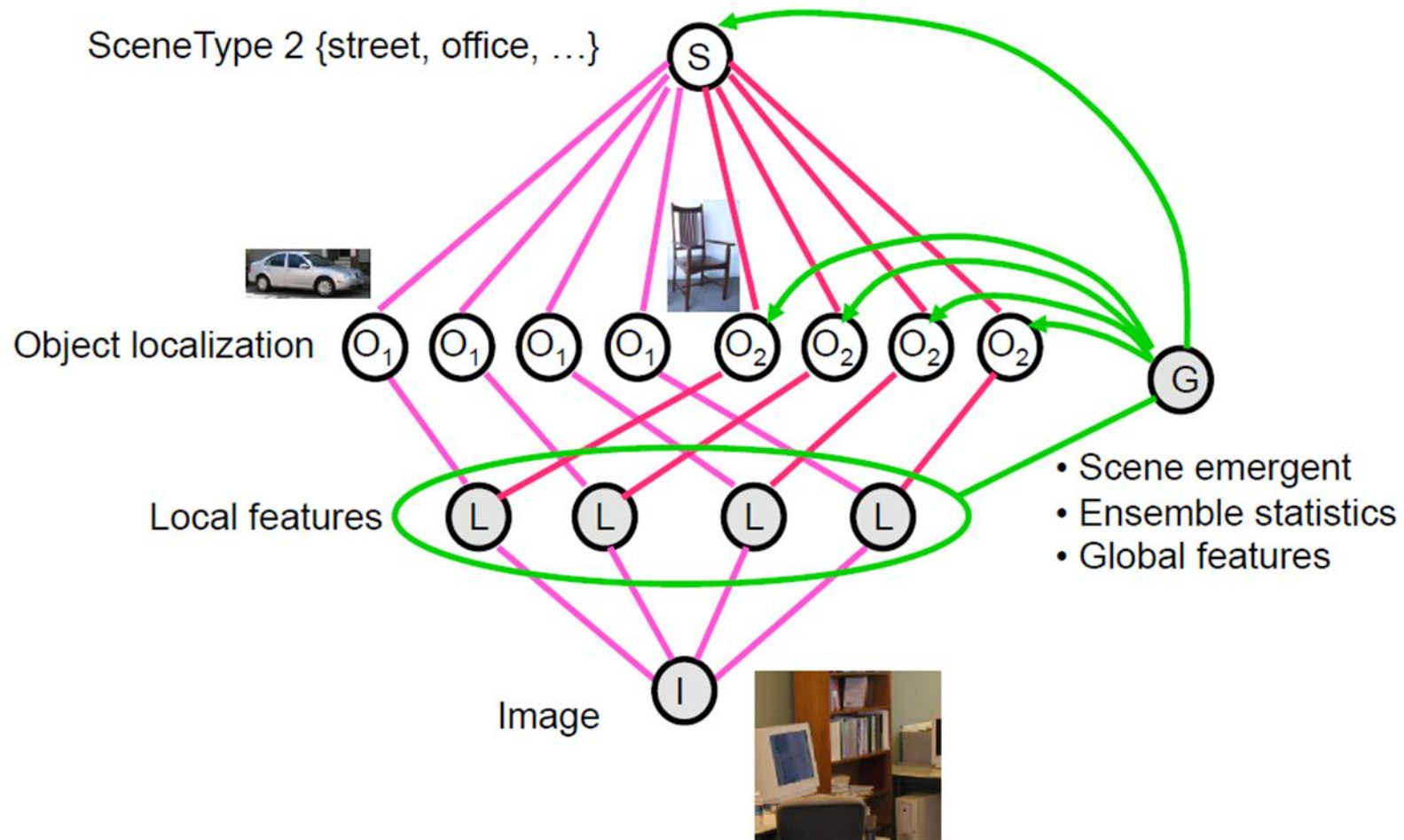


Резюме подписей

- Построение бинарных подписей с помощью хеш-функций позволяют существенно снизить размер индекса
- Сжимать можем любой дескриптор!
- Наилучшие результаты:
 - Если есть информация из внешних источников, какие изображения похожи, какие нет
 - Обучение метрики и бинарной подписи
 - Если такой информации нет
 - Спектральное хэширование



Модель сцены



- Вернёмся к исходной модели изображения



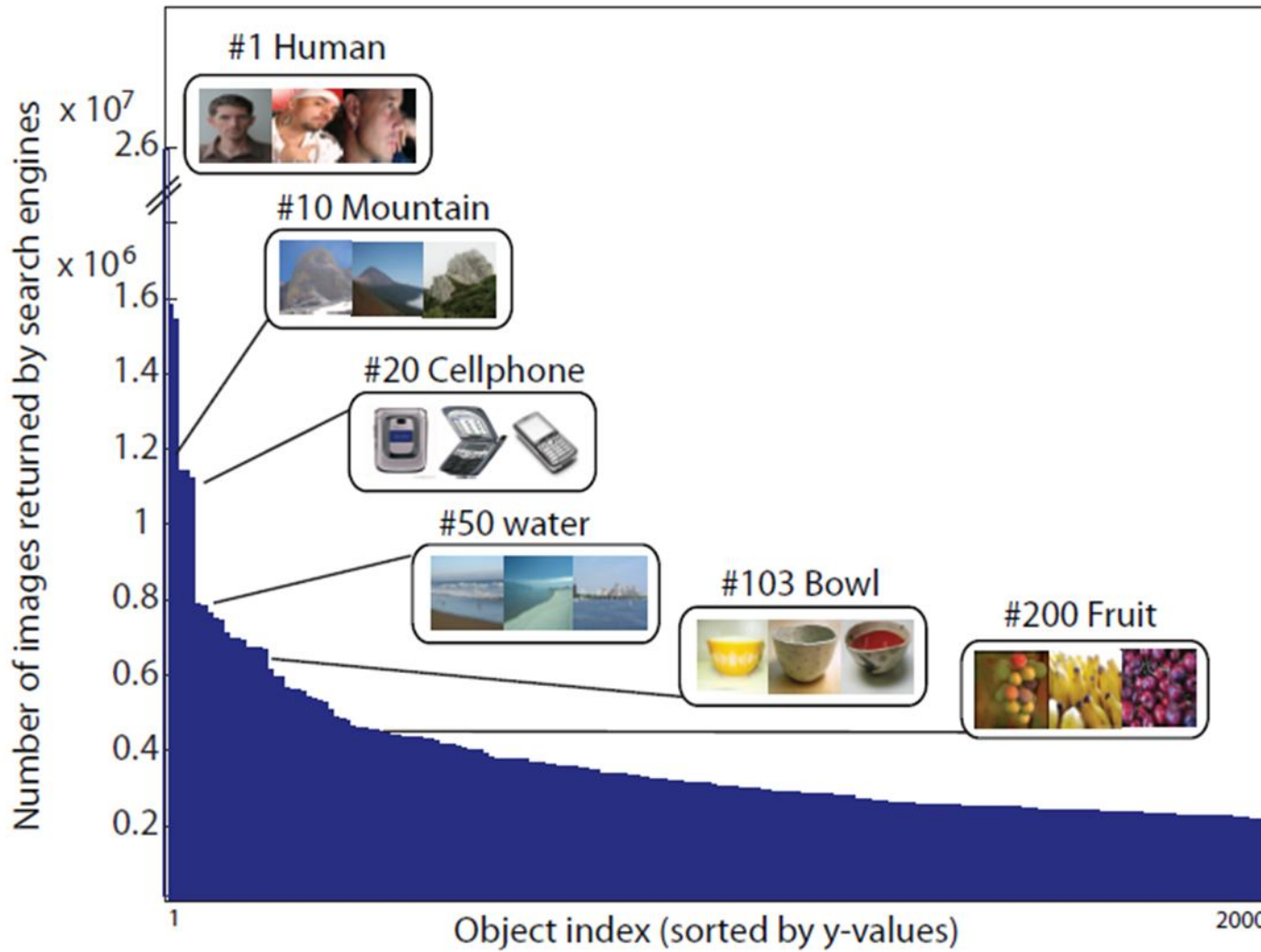
Описание сцены через объекты



- Если бы мы могли хорошо находить объекты и материалы (воду, небо, и т.д.), то можно было бы классифицировать и искать изображения по этим описаниям
- Но теперь мы можем!!!
 - HOG + SVM + части = детектор объектов
 - Сегментация + классификация = детектор материалов



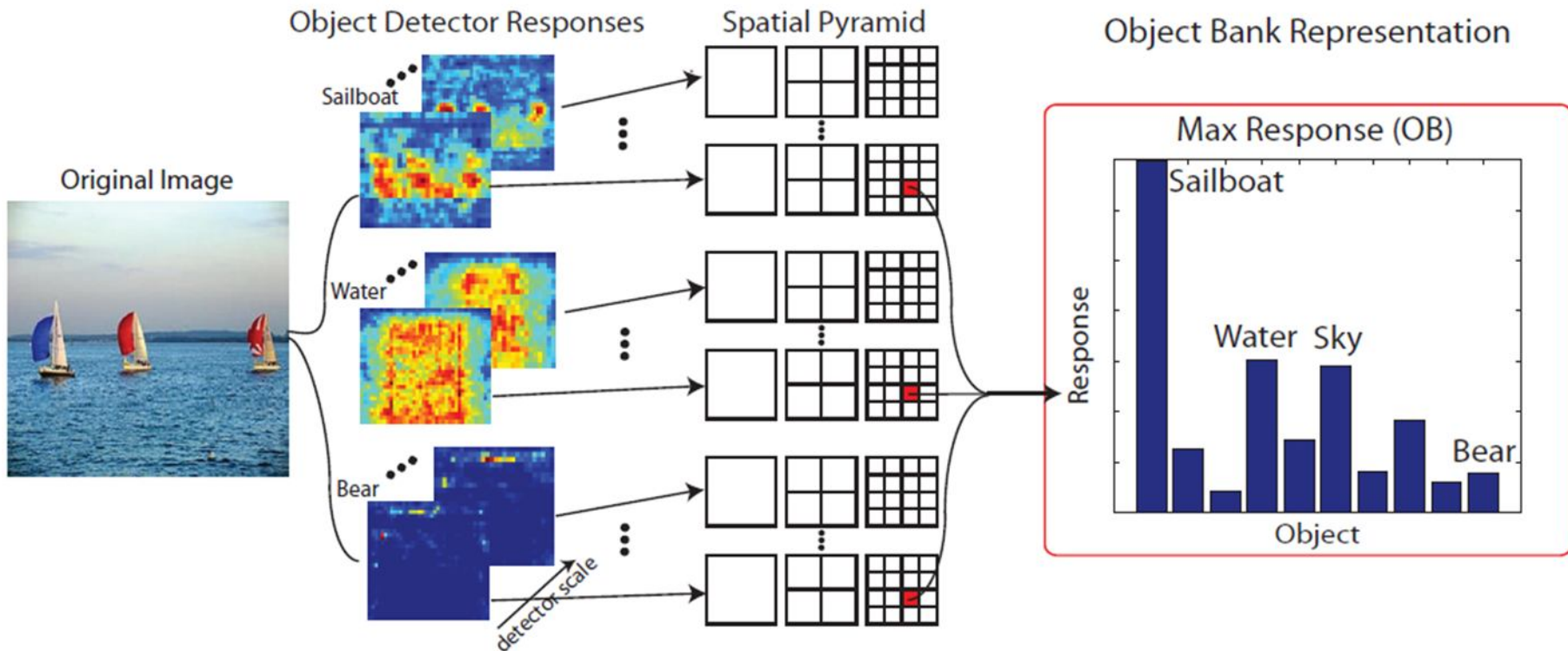
Выбор объектов



Число изображений, найденных по поиску через ключевые слова



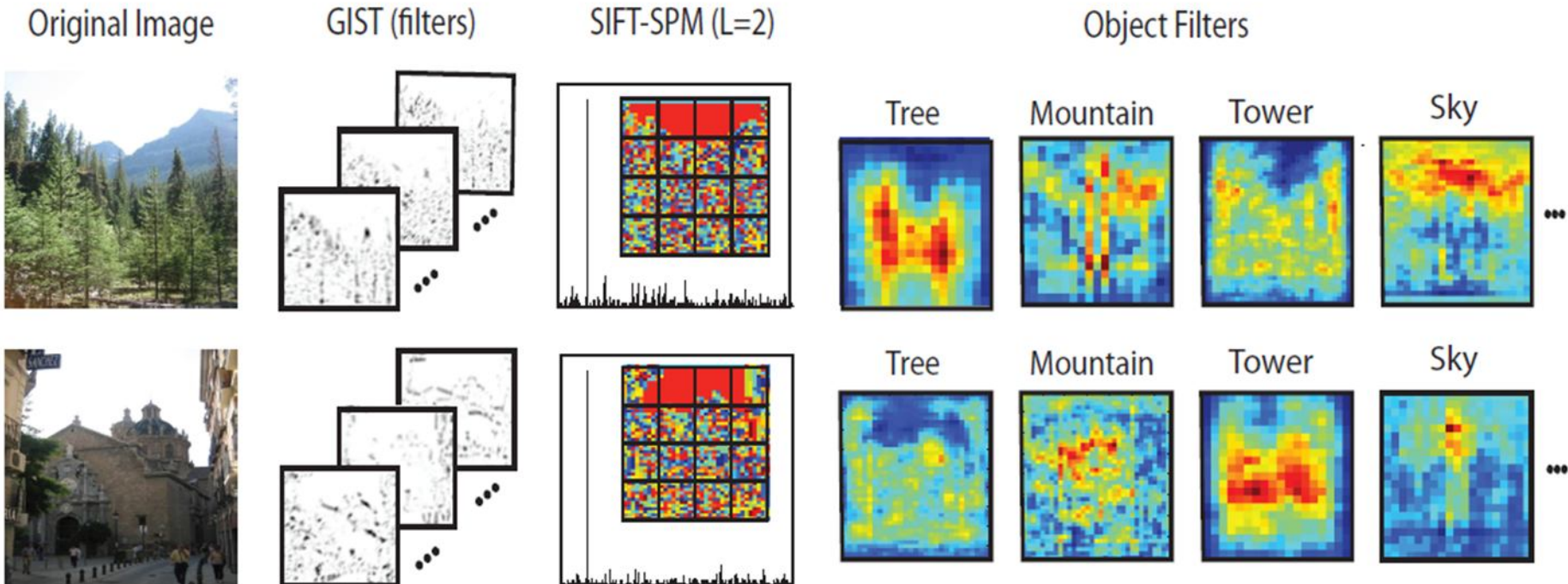
Object filters



- «Фильтруем» изображения с помощью детекторов классов
- Суммируем области по прямоугольным областям
- Строим несколько уровней такого разрешения



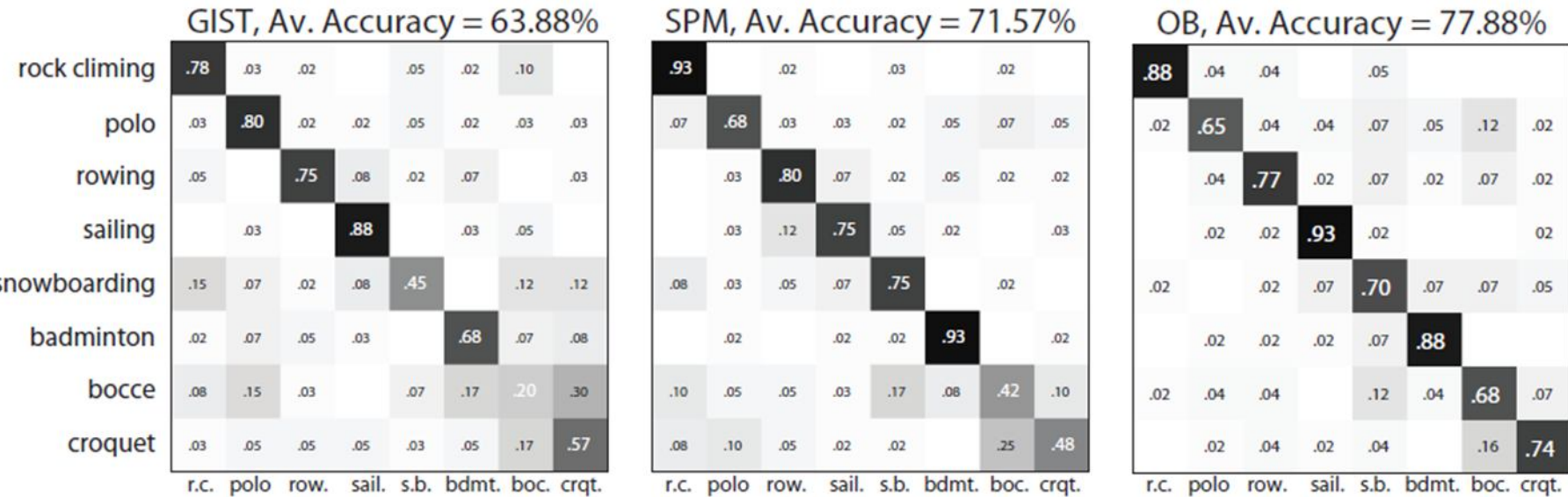
Объединение признаков



- Фильтры объектов, GIST и BOW дополняют друг друга, кодируя разный тип информации
- По всем признакам можно обучить линейный SVM для классификации изображений



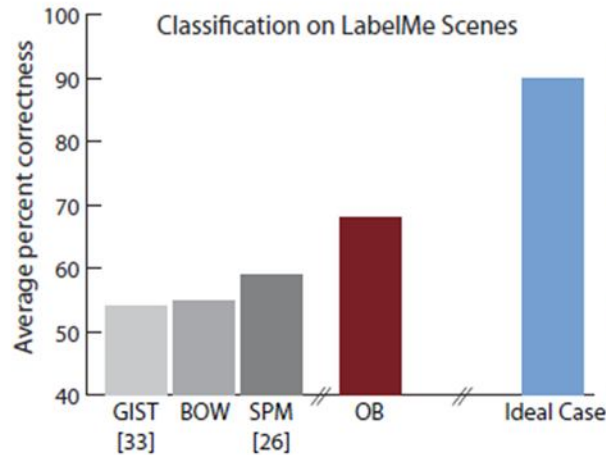
Результаты



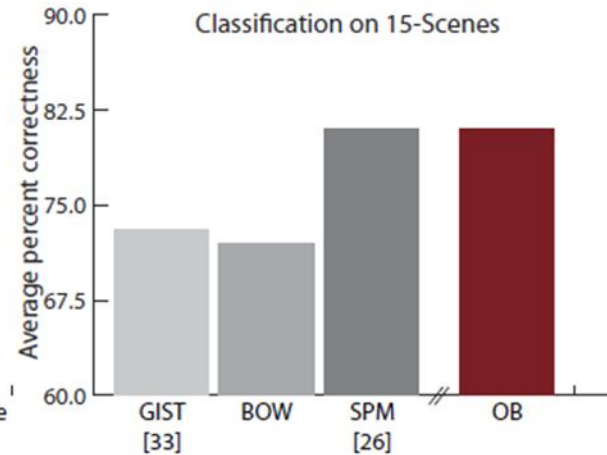
- Классификация изображений из базы UIUC-Sports
- Обучение на 70 изображениях, тестирование на 60



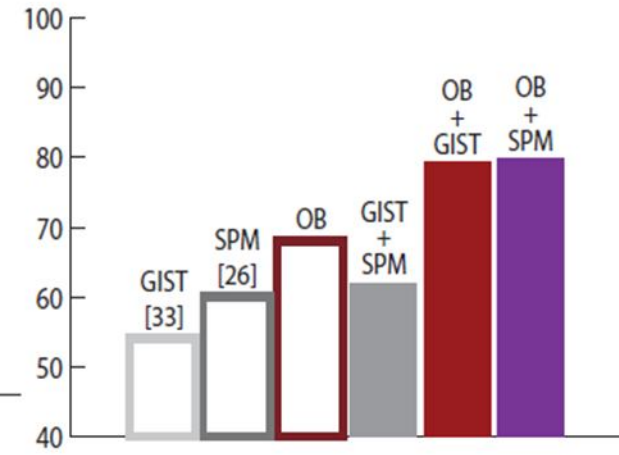
Результаты



(a) LabelMe



(b) 15-Scene



(c) Combining features

- Object Filters дают результаты, сравнимые с лучшими признаками
- Комбинация признаков даёт state-of-art результаты



Смежные направления

- Классификаторы изображений как способ нелинейного хэширования
 - Lorenzo Torresani, Martin Szummer, Andrew Fitzgibbon. Efficient Object Category Recognition Using Classemes. *ECCV*, 2010.
 - Обучение 2500 классификаторов изображений
 - Квантование выходов, обучение линейного SVM на них
- Атрибуты изображений
 - Farhadi, A., Endres, I., Hoiem, D., Forsyth, D.: Describing objects by their attributes. *CVPR* 2009
 - Сцену и объект можно описать через «прилагательные» (свойства объектов)
 - Соберём базу атрибутов изображений с помощью Mechanical Turk
 - Обучим классификаторы атрибутов



Резюме

- Разные признаки кодируют разные аспекты изображения
- Для преодоления семантического разрыва нужно использовать комбинацию признаков
- Детекторы объектов и базы изображения стали достаточно большими для использования как признаки
- Описание большой коллекции возможно только с очень небольшими бинарными подписями
- Подписи строятся по дескрипторам разными методами хэширования



Коды и базы

- Спектральное хеширование (Matlab)
 - <http://www.cs.huji.ac.il/~yweiss/SpectralHashing/>
- ImageNet
 - <http://www.image-net.org/>
- INRIA Holidays
 - <http://lear.inrialpes.fr/people/jegou/data.php#holidays>
- Oxford Buildings
 - <http://www.robots.ox.ac.uk/~vgg/data/oxbuildings/index.html>
- UIUC Sports Event Dataset
 - http://vision.stanford.edu/lijiali/event_dataset/



На следующих лекциях

- Сегментация изображений
- Использование контекста и семантическая сегментация